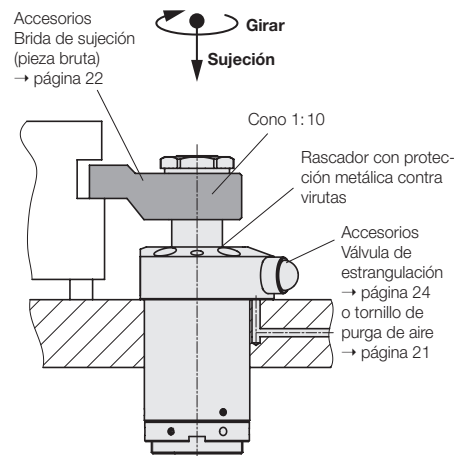
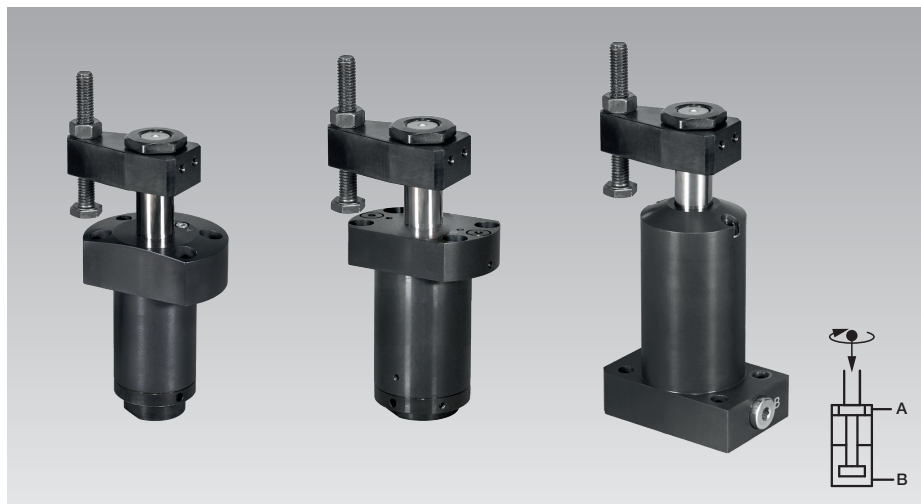




Garras giratorias sin carrera de giro
brida superior/inferior, mecanismo de giro reforzado,
doble efecto, presión máx. de servicio 250 bar



Ventajas

- Diseño compacto, parcialmente empotrable
- Longitud mínima
- Tiempo de bloqueo y desbloqueo muy corto
- Giro en cavidades estrechas
- Rascador con protección metálica contra virutas

Características especiales

- Mecanismo de giro reforzado
- Conexiones para rosca para tubos y conductos taladrados
- Protección antigiro radial en la carrera de sujeción
- Indexación de la brida de sujeción para la alineación exactamente repetible

Funcionamiento

En esta versión sin carrera de giro axial, la brida de sujeción gira en un plano y no ejecuta ningún movimiento axial al girar.

Aplicación

Las garras giratorias hidráulicas se utilizan para la sujeción de piezas de trabajo cuando los puntos de sujeción deben estar libres durante la carga y descarga.

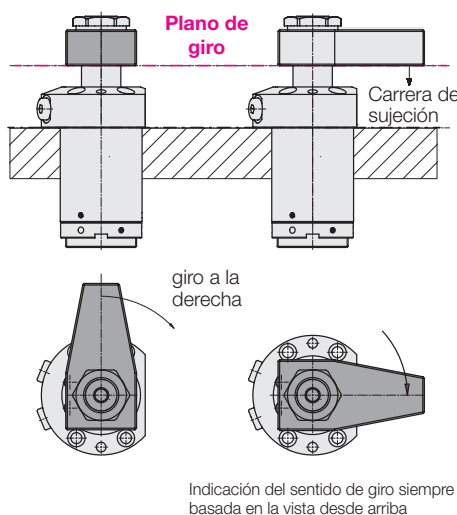
Mecanismo de giro reforzado

Gracias al mecanismo de giro reforzado, la posición angular de la brida de sujeción se mantiene incluso tras una colisión suave al cargar y descargar la pieza de trabajo o durante el proceso de sujeción.

Comportamiento en caso de colisión

En caso de colisión durante el movimiento giratorio desde el estado de "liberación" al de "sujeción", la garra giratoria se mueve axialmente en dirección al estado al "sujeción" en la posición de giro actual, sin continuar ejecutando el movimiento giratorio. Esto debe tenerse en cuenta durante la evaluación de riesgos y el análisis de colisiones. Durante el proceso de liberación, la garra giratoria vuelve a su posición inicial correcta.

Giro sin carrera de giro axial



Ejecuciones

- Ejecución con brida arriba y abajo
 - 3 tamaños
 - Alojamiento para la brida de sujeción con cono 1:10, pasador pendular o cabeza de horquilla
 - 2 carreras de sujeción según el tamaño
 - con giro a la derecha, a la izquierda o sin giro
 - Ángulo de giro 0°, 15° a 75° y 90°
 - Puede elegirse el ángulo de la posición de sujeción en caso de pasador pendular o cabeza de horquilla
- Véase la clave numérica para el pedido → página 23

Juntas

NBR = caucho de butadieno nitrilo
Juntas de FKM a petición

Accesorios

- Pieza bruta de brida de sujeción → página 22
- Válvula de estrangulación → página 24

Protección antigiro radial en la carrera de sujeción

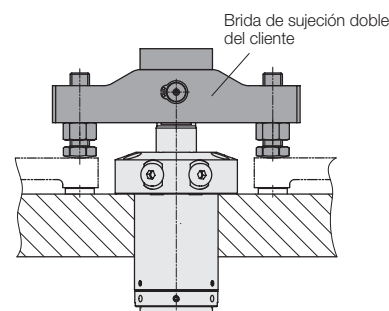
Con los útiles de sujeción giratorios también se pueden mecanizar piezas en posición invertida. En caso de una bajada repentina de la presión de sujeción, el dispositivo de protección antigiro radial impide que la brida de sujeción gire hacia atrás. En ese caso, la pieza de trabajo ya no estará firmemente sujeta. No obstante, mediante una disposición adecuada de varias garras giratorias y ayudas de posicionamiento de piezas de trabajo, se puede evitar que la pieza de trabajo se caiga del útil (véase también la nota al respecto en las instrucciones de servicio).

Nota sobre el funcionamiento sin problemas

Para evitar sobrecargas causadas por caudales de aceite excesivamente elevados durante el funcionamiento (→ página 21), deben considerarse válvulas de estrangulación (→ página 24) u otras medidas adecuadas. Esto se aplica especialmente cuando una sola línea de alimentación acciona un gran número de garras giratorias.

Brida de sujeción doble

Permite sujetar piezas en útiles de sujeción múltiples mientras ahorra espacio. Los vástagos del pistón están disponibles con pasadores pendulares y cabezas de horquilla, lo que permite montar bridas de sujeción dobles con un ajuste óptimo. En el caso de una brida de sujeción doble de nuevo diseño, se debe determinar el momento de inercia para calcular el caudal admisible mediante la fórmula de la página 21.



Condiciones de servicio, tolerancias y otros datos, véase la hoja A 0.100

Ejecuciones y datos técnicos

Variantes de conexión

Brida superior

Roscas para tubos y conductos taladrados

→ página 3

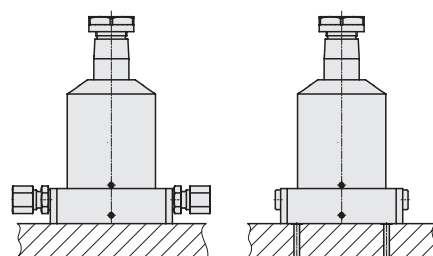
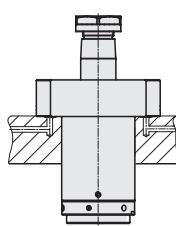
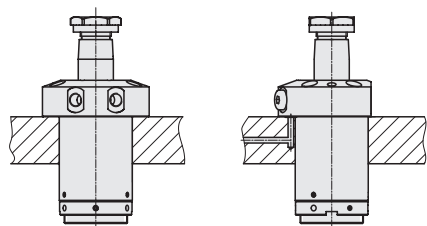
Brida superior, aplanada por ambos lados

→ página 5

Brida inferior

Roscas para tubos y conductos taladrados

→ página 7



Otras ejecuciones: alojamiento para la brida de sujeción

Brida superior

Pasador pendular

→ página 9

Cabeza de horquilla

→ página 15

Brida superior, aplanada por ambos lados

Pasador pendular

→ página 11

Cabeza de horquilla

→ página 17

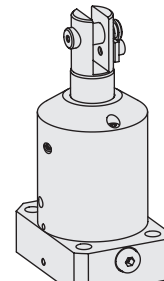
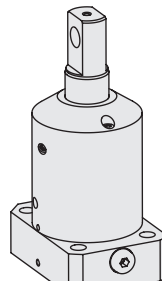
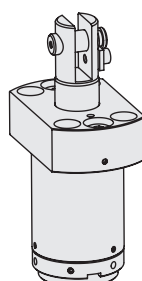
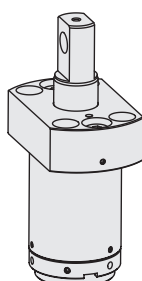
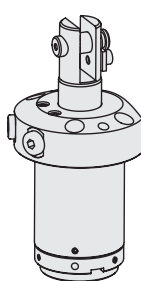
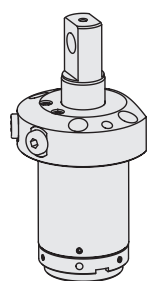
Brida inferior

Pasador pendular

→ página 13

Cabeza de horquilla

→ página 19



Datos técnicos

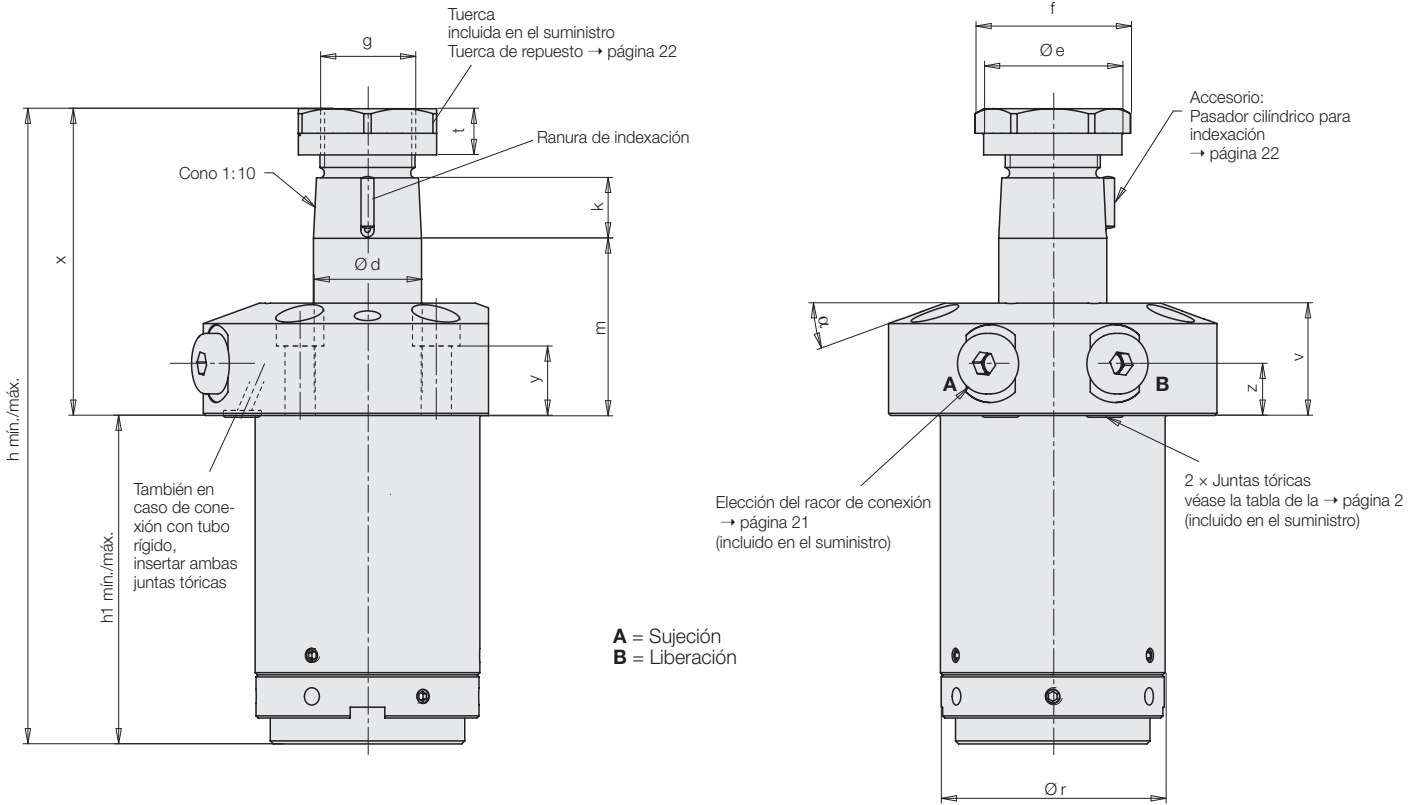
Tamaño		1		2		3	
Ø de pistón/vástago	[mm]	23/16		36/25		50/36	
Carrera de sujeción	[mm]	8	15	12	25	12	25
Fuerza de tracción a 250 bar	[kN]	5,3		13,1		23,6	
Presión de accionamiento mín.	[bar]	20		20		20	
Superficie del segmento del pistón	[cm ²]	2,14		5,27		9,46	
Demanda de aceite/mm carrera de sujeción	[cm ³]	0,21		0,53		0,95	
Demanda de aceite/mm carrera de retorno	[cm ³]	0,42		1,02		1,96	
Demanda de aceite giro 90°	[cm ³]	3,14		10,69		24,34	
Demanda de aceite giro 75°	[cm ³]	2,08		7,03		17,29	
Demanda de aceite giro 0°	[cm ³]	0,00		0,00		0,00	
Demanda de aceite reducción de giro de 5° entre 75° y 15°	[cm ³]	0,12		0,38		1,01	
Junta tórica de repuesto	[mm]	6×1,5		6×1,5		8×1,5	
Referencia NBR		3000313		3000313		3000343	

Presión máx. de servicio en función de la longitud de la brida de sujeción e → página 21

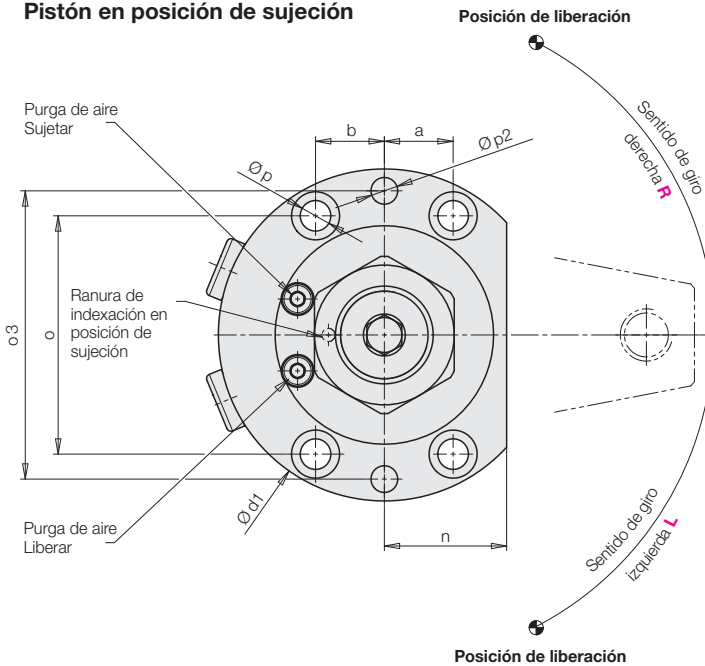
Alojamiento para la brida de sujeción con cono 1:10

Brida superior

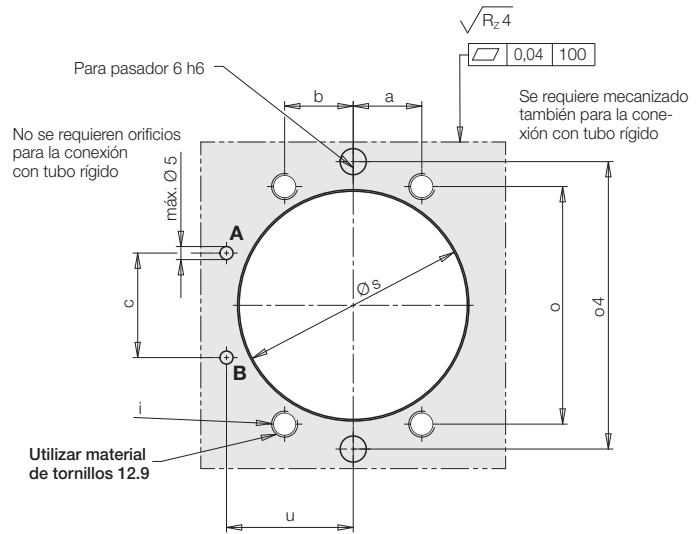
Posición de liberación



Pistón en posición de sujeción



Esquema de conexión



Posición de sujeción

Ángulo de la posición de sujeción $W = 0^\circ$ (W000)

En el caso de la ejecución con cono, no se puede elegir ninguna otra posición de sujeción. La ranura de indexación está situada siempre enfrente a 180° .

Ángulo de giro

Puede elegirse un ángulo de giro de 0° , de 15° a 75° en incrementos de 5° y de 90° . Tolerancia del ángulo de giro $\pm 3^\circ$ en posición de liberación

Clave numérica para el pedido y ejemplos → página 23

Condiciones de servicio, tolerancias y otros datos, véase la hoja A 0.100

Alojamiento para la brida de sujeción con cono 1:10 • Brida superior

Dimensiones y datos técnicos

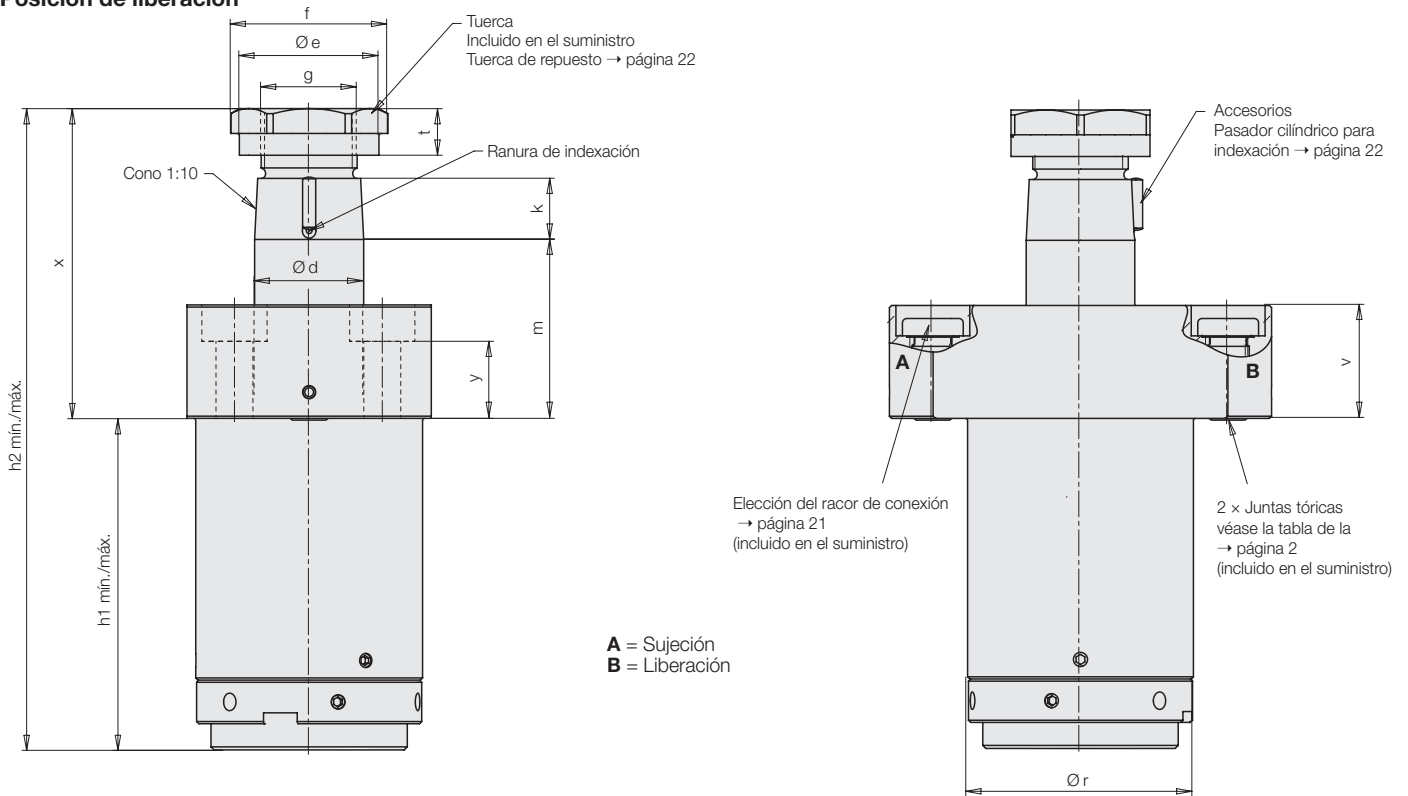
Tamaño		1		2		3	
Ø de pistón/vástago	[mm]	23/16		36/25		50/36	
Carrera de sujeción	[mm]	8	15	12	25	12	25
Fuerza de tracción a 250 bar	[kN]	5,3		13,1		23,6	
Presión de accionamiento mín.	[bar]	20		20		20	
Superficie del segmento del pistón	[cm ²]	2,14		5,27		9,46	
Demanda de aceite/mm carrera de sujeción	[cm ³ /mm]	0,21		0,53		0,95	
Demanda de aceite/mm carrera de retorno	[cm ³ /mm]	0,42		1,02		1,96	
Demanda de aceite giro a 90°	[cm ³]	3,14		10,69		24,34	
Demanda de aceite giro a 75°	[cm ³]	2,08		7,03		17,29	
Demanda de aceite giro 0°	[cm ³]	0		0		0	
Demanda de aceite reducción de giro cada 5° por debajo de 75° hasta 15°	[cm ³]	0,12		0,38		1,01	
Caudal volumétrico máx.	[l/min]	Diagramas, ver página 21					
Tiempos de giro mín.	[s]	Diagramas, ver página 21					
a	[mm]	11,75		15,75		22,5	
b	[mm]	11,75		15,75		22,5	
c	[mm]	18		24		34,5	
Ø d	[mm]	16		25		36	
Ø d1	[mm]	62		76		110	
Ø e	[mm]	19		32		46	
f	[mm]	27		36		53,1	
g	[mm]	M14 × 1,5		M22 × 1,5		M30 × 1,5	
h mín.	[mm]	115,5	136,5	146	185	187	226
h máx.	[mm]	116	137	147	186	188	227
h1 mín.	[mm]	60,5	74,5	75	101	104	130
h1 máx.	[mm]	61	75	76	102	105	131
i	[mm]	M5		M6		M10	
k	[mm]	13,5		14		20	
m +0,7 -0,3	[mm]	32,5	39,5	41	54	45	58
n	[mm]	19		28		38	
o	[mm]	40,7		54,56		77,94	
o3 ±0,05	[mm]	54		66		96	
o4 ±0,03	[mm]	54		66		96	
Ø p	[mm]	5,8		7		12	
Ø p2 M8	[mm]	6,1 × 8 profundo		6,1 × 8 profundo		6,1 × 8 profundo	
Ø r	[mm]	36		52		72	
Ø s ±0,2	[mm]	36,4		52,4		72,4	
t	[mm]	7,5		10,7		12	
u	[mm]	21,7		29,1		41,5	
v	[mm]	22		26		28	
x	[mm]	55	62	71	84	83	96
y	[mm]	13		16		11	
z	[mm]	10		12		11	
Peso aprox.	[kg]	0,8	0,9	1,9	2,3	4,6	5,4
Bisel de la brida α	[°]	10		20		15	
SW	[mm]	24		32		46	

Fuerza de sujeción efectiva F y longitud admisible de la brida de sujeción e → página 21

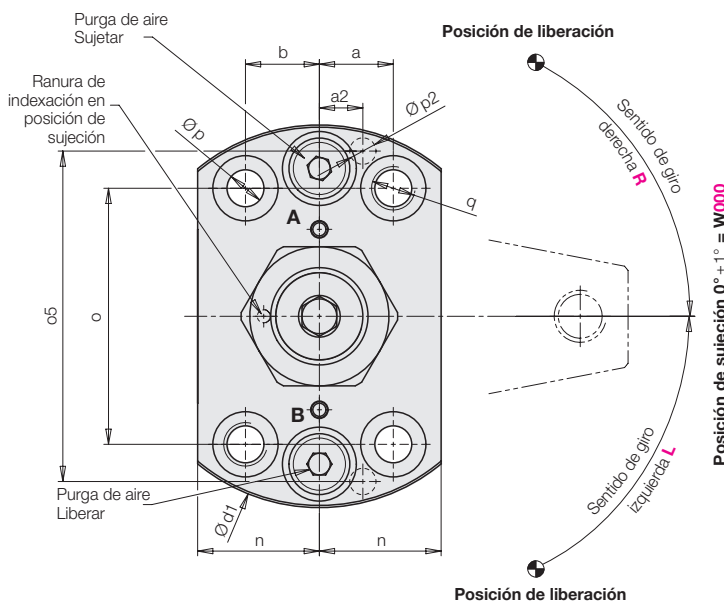
Alojamiento para la brida de sujeción con cono 1:10

Brida superior, aplanada por ambos lados

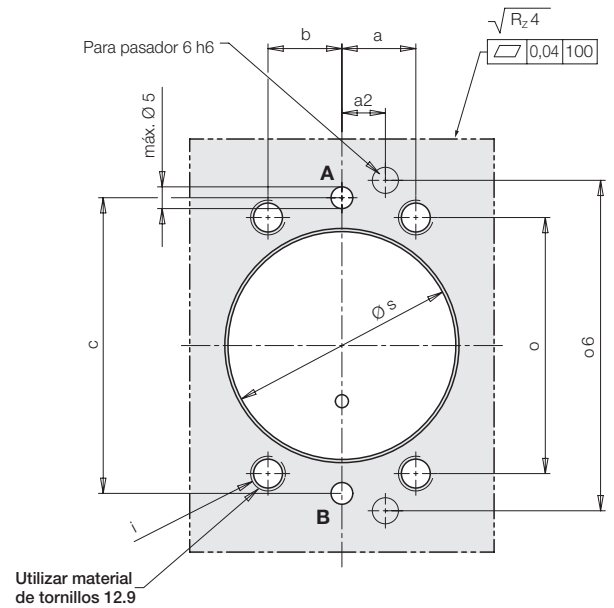
Posición de liberación



Pistón en posición de sujeción



Esquema de conexión



Posición de sujeción

Ángulo de la posición de sujeción $W = 0^\circ$ (W000)

En el caso de la ejecución con cono, no se puede elegir ninguna otra posición de sujeción. La ranura de indexación está situada siempre enfrente a 180° .

Ángulo de giro

Puede elegirse un ángulo de giro de 0° , de 15° a 75° en incrementos de 5° y de 90° . Tolerancia del ángulo de giro $\pm 3^\circ$ en posición de liberación

Clave numérica para el pedido y ejemplos → página 23

Condiciones de servicio, tolerancias y otros datos, véase la hoja A 0.100

Alojamiento para la brida de sujeción con cono 1:10 • Brida superior, aplanada por ambos lados
Dimensiones y datos técnicos

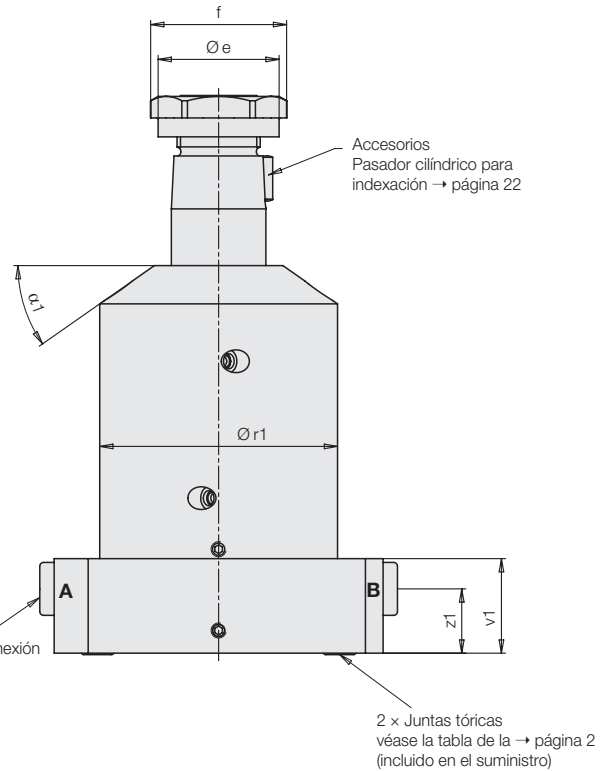
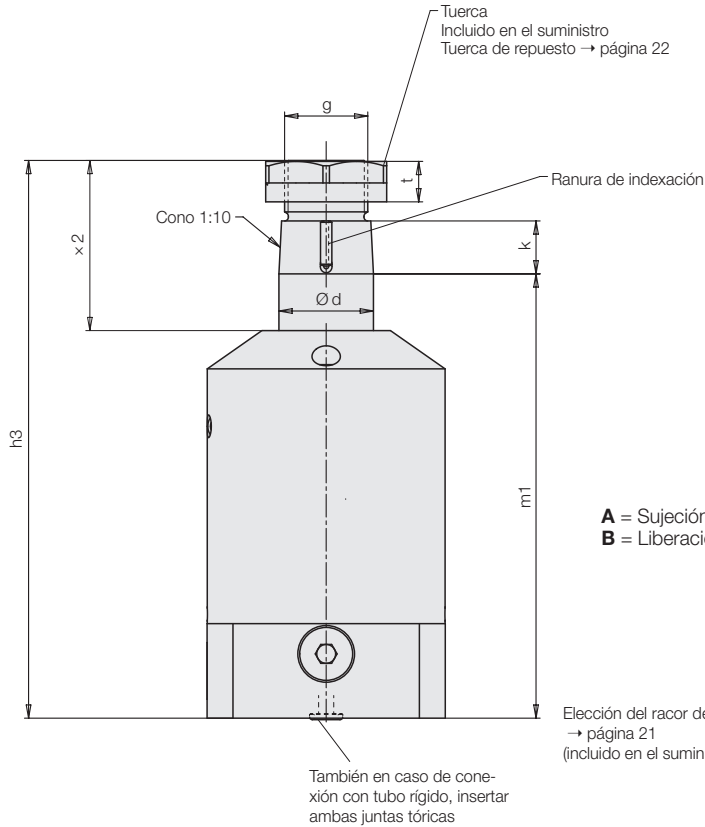
Tamaño		1		2		3	
Ø de pistón/vástago	[mm]	23/16		36/25		50/36	
Carrera de sujeción	[mm]	8	15	12	25	12	25
Fuerza de tracción a 250 bar	[kN]	5,3		13,1		23,6	
Presión de accionamiento mín.	[bar]	20		20		20	
Superficie del segmento del pistón	[cm ²]	2,14		5,27		9,46	
Demanda de aceite/mm carrera de sujeción	[cm ³ /mm]	0,21		0,53		0,95	
Demanda de aceite/mm carrera de retorno	[cm ³ /mm]	0,42		1,02		1,96	
Demanda de aceite giro a 90°	[cm ³]	3,14		10,69		24,34	
Demanda de aceite giro a 75°	[cm ³]	2,08		7,03		17,29	
Demanda de aceite giro 0°	[cm ³]	0		0		0	
Demanda de aceite reducción de giro cada 5° por debajo de 75° hasta 15°	[cm ³]	0,12		0,38		1,01	
Caudal volumétrico máx.	[l/min]	Diagramas, ver página 21					
Tiempos de giro mín.	[s]	Diagramas, ver página 21					
Peso aprox.	[kg]	0,8	0,9	2,0	2,3	4,6	5,3
a	[mm]	14,3		17		22,5	
a2 ±0,05	[mm]	9		10		12	
b	[mm]	14,3		17		22,5	
c	[mm]	47		68		90	
Ø d	[mm]	16		25		36	
Ø d1	[mm]	70		88		110	
Ø e	[mm]	19		32		46	
f	[mm]	27		36		53,1	
g	[mm]	M14 × 1,5		M22 × 1,5		M30 × 1,5	
h1 mín.	[mm]	58,5	72,5	75	101	104	130
h1 máx.	[mm]	59	73	76	102	105	131
h mín.	[mm]	115,5	136,5	146	185	187	226
h máx.	[mm]	116	137	147	186	188	227
i	[mm]	M5	M5	M8	M8	M10	M10
k	[mm]	13,5		14		20	
m +0,7 -0,3	[mm]	34,5	41,5	41	54	45	58
n	[mm]	20		28		38	
o	[mm]	45,8		58,9		77,9	
o5 ±0,05	[mm]	58		76		96	
o6 ±0,03	[mm]	58		76		96	
Ø p	[mm]	5,8		8,5		10,5	
Ø p2 M8	[mm]	6,1 × 8 profundo		6,1 × 8 profundo		6,1 × 8 profundo	
q	[mm]	M6		M10		M12	
Ø r	[mm]	36		52		72	
Ø s ± 0,2	[mm]	36,4		52,4		72,4	
t	[mm]	7,5		10,7		12	
v	[mm]	24		26		28	
x	[mm]	57	64	71	84	83	96
y	[mm]	15		17,5		11	

Fuerza de sujeción efectiva F y longitud admisible de la brida de sujeción e → página 21

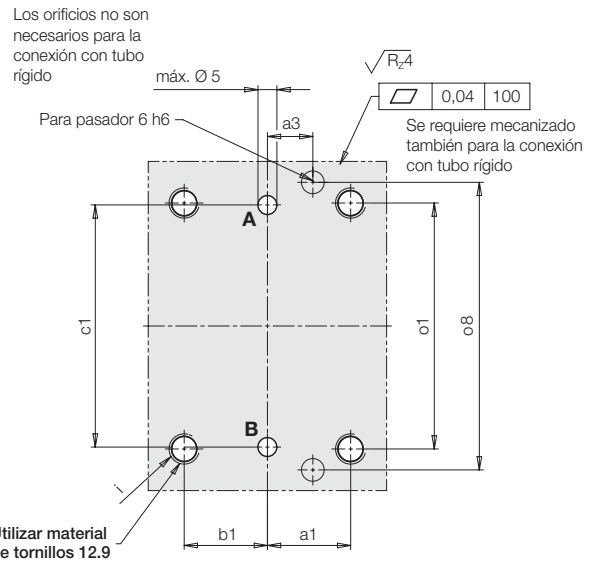
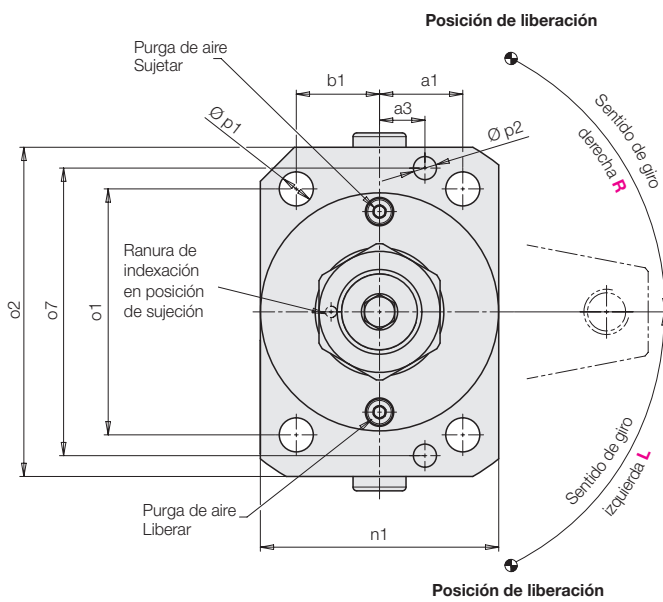
Alojamiento para la brida de sujeción con cono 1:10

Brida inferior

Posición de liberación



Pistón en posición de sujeción



Posición de sujeción

Ángulo de la posición de sujeción $W = 0^\circ$ (W000)

En el caso de la ejecución con cono, no se puede elegir ninguna otra posición de sujeción. La ranura de indexación está situada siempre enfrente a 180° .

Ángulo de giro

Puede elegirse un ángulo de giro de 0° , de 15° a 75° en incrementos de 5° y de 90° . Tolerancia del ángulo de giro $\pm 3^\circ$ en posición de liberación

Clave numérica para el pedido y ejemplos → página 23

Condiciones de servicio, tolerancias y otros datos, véase la hoja A 0.100

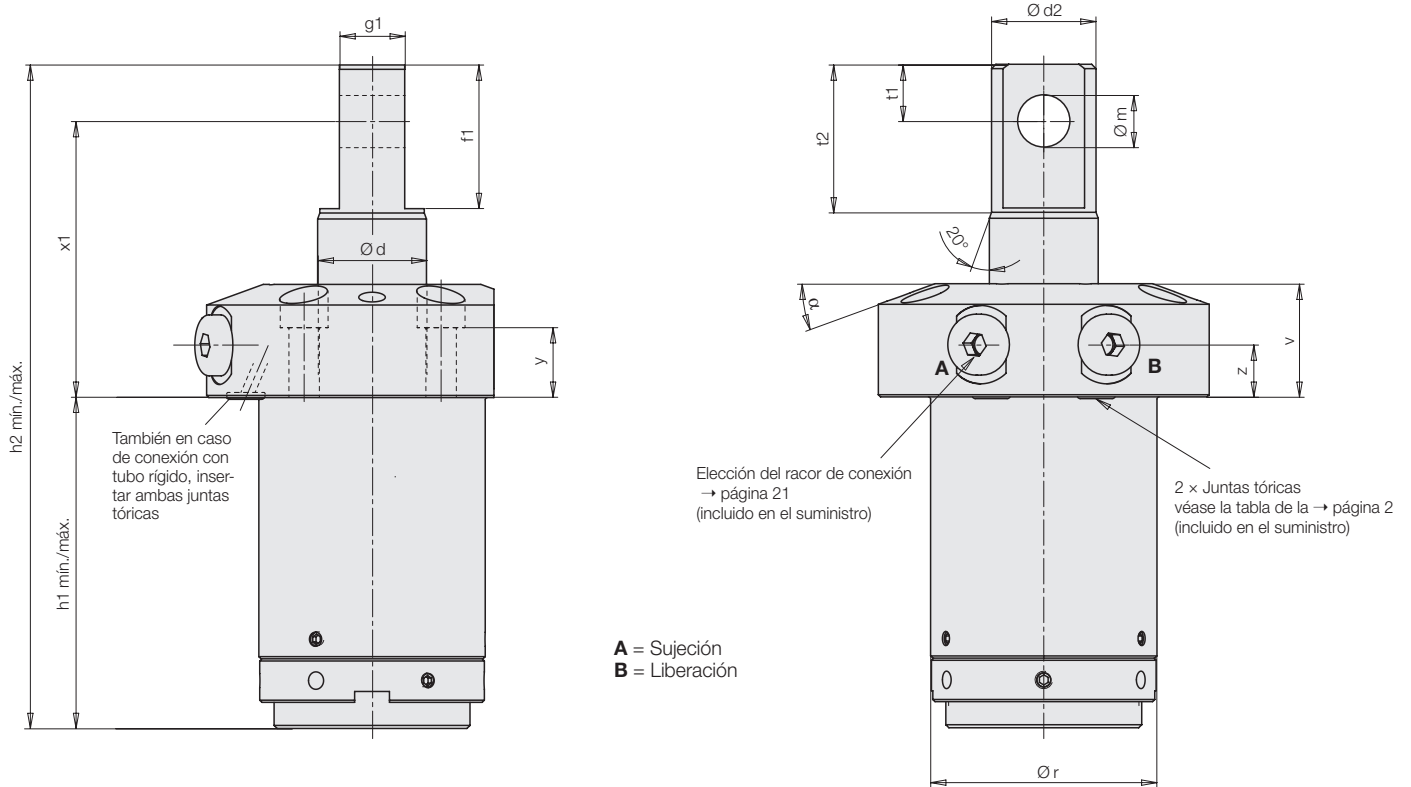
Alojamiento para la brida de sujeción con cono 1:10 • Brida inferior
Dimensiones y datos técnicos

Tamaño		1		2		3	
Ø de pistón/vástago	[mm]	23/16		36/25		50/36	
Carrera de sujeción	[mm]	8	15	12	25	12	25
Fuerza de tracción a 250 bar	[kN]	5,3		13,1		23,6	
Presión de accionamiento mín.	[bar]	20		20		20	
Superficie del segmento del pistón	[cm ²]	2,14		5,27		9,46	
Demanda de aceite/mm carrera de sujeción	[cm ³ /mm]	0,21		0,53		0,95	
Demanda de aceite/mm carrera de retorno	[cm ³ /mm]	0,42		1,02		1,96	
Demanda de aceite giro a 90°	[cm ³]	3,14		10,69		24,34	
Demanda de aceite giro a 75°	[cm ³]	2,08		7,03		17,29	
Demanda de aceite giro 0°	[cm ³]	0		0		0	
Demanda de aceite reducción de giro cada 5° por debajo de 75° hasta 15°	[cm ³]	0,12		0,38		1,01	
Caudal volumétrico máx.	[l/min]	Diagramas, ver página 21					
Tiempos de giro mín.	[s]	Diagramas, ver página 21					
a1	[mm]	15		22		30	
a3 ±0,05	[mm]	10		12		15	
b1	[mm]	15		22		30	
c1	[mm]	48		64		86	
Ød	[mm]	16		25		36	
Øe	[mm]	19		32		46	
f	[mm]	27		36		53,1	
g	[mm]	M14 × 1,5		M22 × 1,5		M30 × 1,5	
h3	[mm]	117,1	138,1	147,5	186,5	188,7	227,7
i	[mm]	M6		M8		M12	
k	[mm]	13,5		14		20	
m1 +0,4 -0,1	[mm]	94,6	115,6	117,5	156,5	150,7	189,7
n1	[mm]	45		63		80	
o1	[mm]	50		65		86	
o2	[mm]	70		87		108	
o7 ±0,05	[mm]	61,4		76		96	
o8 ±0,03	[mm]	61,4		76		96	
Øp1	[mm]	7		9		13	
Øp2 M8	[mm]	6,1 × 8 profundo		6,1 × 8 profundo		6,1 × 8 profundo	
Ør1 -0,2	[mm]	44,9		62,9		79,8	
t	[mm]	7,5		10,7		12	
v1	[mm]	20		25		27,5	
x2	[mm]	33	40	45	58	55	68
z1	[mm]	11		17		17,5	
Peso aprox.	[kg]	1,18	1,35	2,7	3,27	5,65	6,55
Bisel de la brida α 1	[°]	25		35		25	

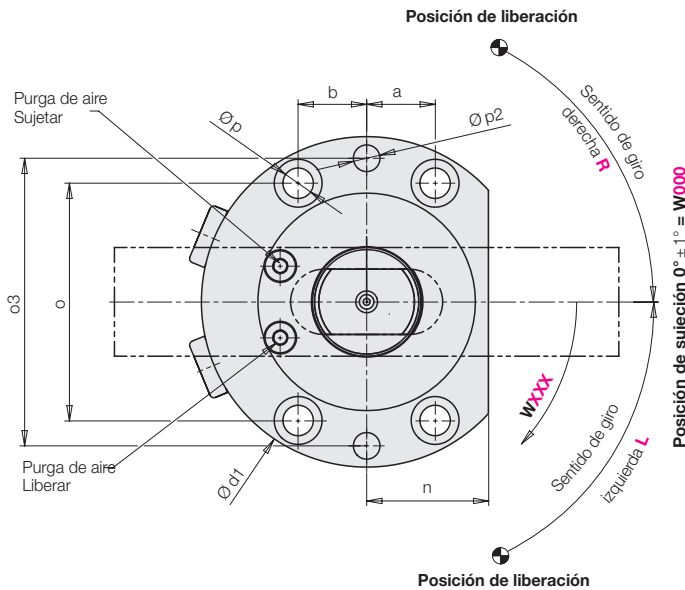
Fuerza de sujeción efectiva F y longitud admisible de la brida de sujeción e → página 21

Alojamiento para la brida de sujeción con **pasador pendular** Brida superior

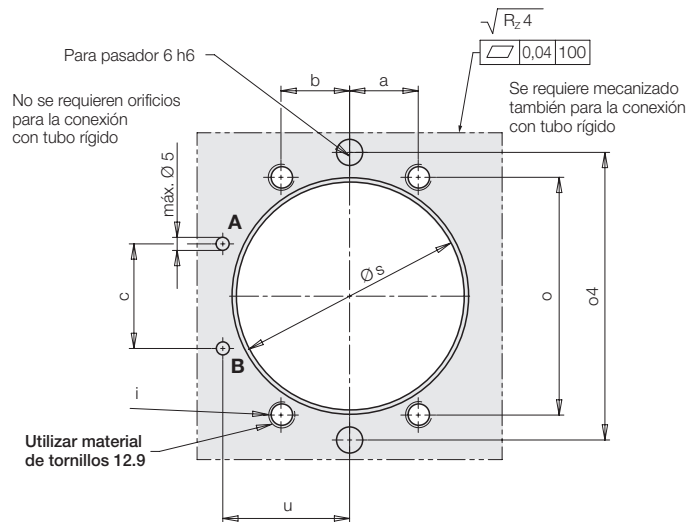
Posición de liberación



Pistón en posición de sujeción



Esquema de conexión



Posición de sujeción

El ángulo de la posición de sujeción W puede elegirse entre 0° y 175° en incrementos de 5° (**W000 ... W175**).

Ángulo de giro

Puede elegirse un ángulo de giro de 0°, de 15° a 75° en incrementos de 5° y de 90°. Tolerancia del ángulo de giro $\pm 3^\circ$ en posición de liberación

Clave numérica para el pedido y ejemplos → página 23

Condiciones de servicio, tolerancias y otros datos, véase la hoja A 0.100

Alojamiento para la brida de sujeción con pasador pendular • Brida superior
Dimensiones y datos técnicos

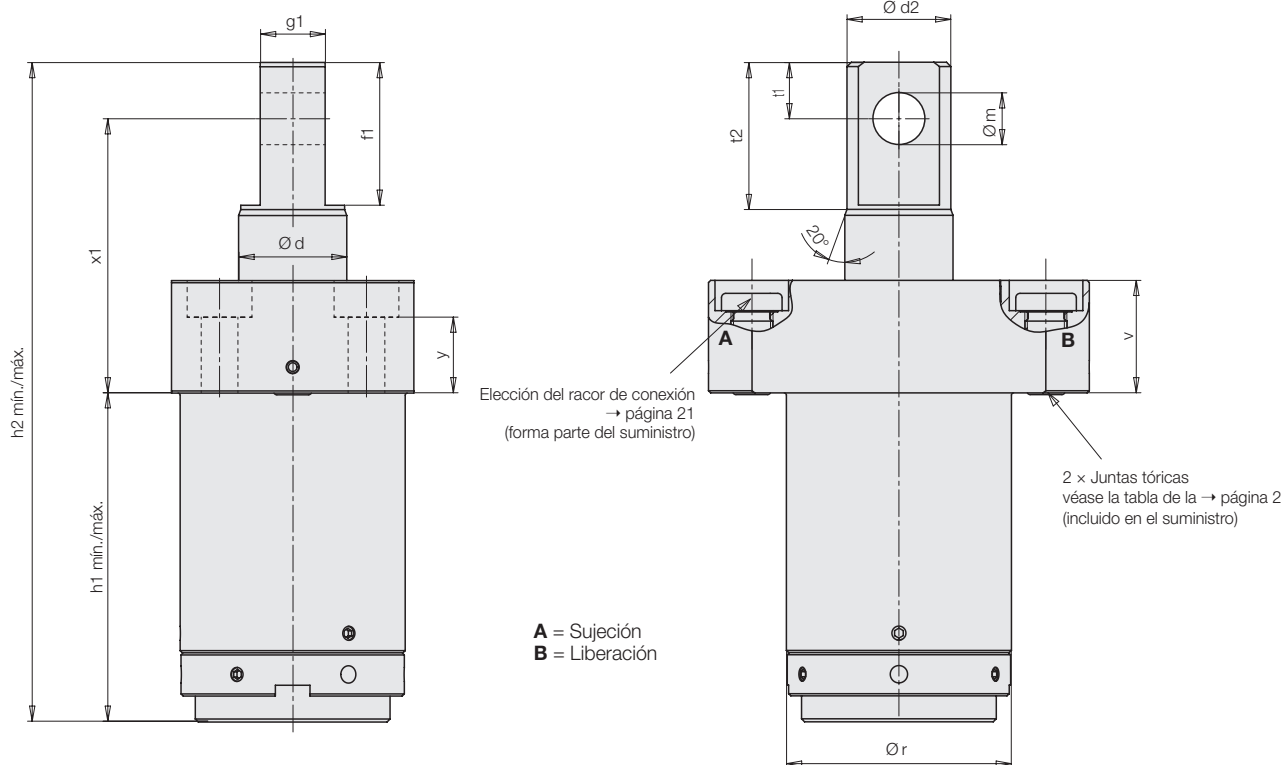
Tamaño		1		2		3	
Ø de pistón/vástago	[mm]	23/16		36/25		50/36	
Carrera de sujeción	[mm]	8	15	12	25	12	25
Fuerza de tracción a 250 bar	[kN]	5,3		13,1		23,6	
Presión de accionamiento mín.	[bar]	20	20	20	20	20	20
Superficie del segmento del pistón	[cm ²]	2,14		5,27		9,46	
Demanda de aceite/mm carrera de sujeción	[cm ³ /mm]	0,21		0,53		0,95	
Demanda de aceite/mm carrera de retorno	[cm ³ /mm]	0,42		1,02		1,96	
Demanda de aceite giro a 90°	[cm ³]	3,14		10,69		24,34	
Demanda de aceite giro a 75°	[cm ³]	2,08		7,03		17,29	
Demanda de aceite giro 0°	[cm ³]	0		0		0	
Demanda de aceite reducción de giro cada 5° por debajo de 75° hasta 15°	[cm ³]	0,12		0,38		1,01	
Caudal volumétrico máx.	[l/min]	Diagramas, ver página 21					
Tiempos de giro mín.	[s]	Diagramas, ver página 21					
a	[mm]	11,75		15,75		22,5	
b	[mm]	11,75		15,75		22,5	
c	[mm]	18		24		34,5	
Ød	[mm]	16		25		36	
Ød1	[mm]	62		76		110	
Ød2	[mm]	15,5		24		34	
f1	[mm]	23		33		50	
g1 f7	[mm]	10		15		25	
h1 mín.	[mm]	60,5	74,5	75	101	104	130
h1 máx.	[mm]	61	75	76	102	105	131
h2 mín.	[mm]	117,5	138,5	151,4	190,4	202	241
h2 máx.	[mm]	118	139	152,4	191,4	203	242
i	[mm]	M5		M6		M10	
Øm H7/g6		8		12		16	
n	[mm]	19		28		38	
o	[mm]	40,7		54,56		77,94	
o3 ±0,05	[mm]	54		66		96	
o4 ±0,03	[mm]	54		66		96	
Ø p	[mm]	5,8		7		12	
Øp2 M8	[mm]	6,1 × 8 profundo		6,1 × 8 profundo		6,1 × 8 profundo	
Ø r	[mm]	36		52		72	
Ø s ±0,2	[mm]	36,4		52,4		72,4	
t1	[mm]	10		13		20	
t2	[mm]	24		34		50,5	
u	[mm]	21,7		29,1		41,5	
v	[mm]	22		26		28	
x1 +0,7 -0,6	[mm]	47	54	63,4	76,4	78	91
y	[mm]	13		16		11	
z	[mm]	10		12		11	
Peso aprox.	[kg]	0,8	0,9	1,9	2,3	4,6	5,4
Bisel de la brida α	[°]	10		20		15	

Fuerza de sujeción efectiva F y longitud admisible de la brida de sujeción e → página 21

Alojamiento para la brida de sujeción con pasador pendular

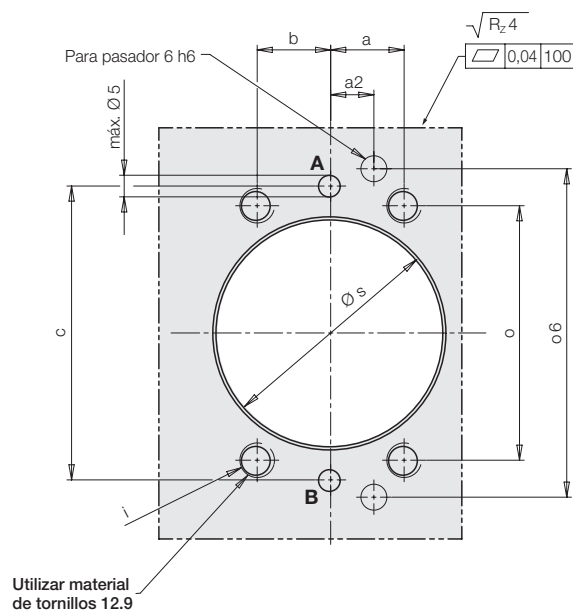
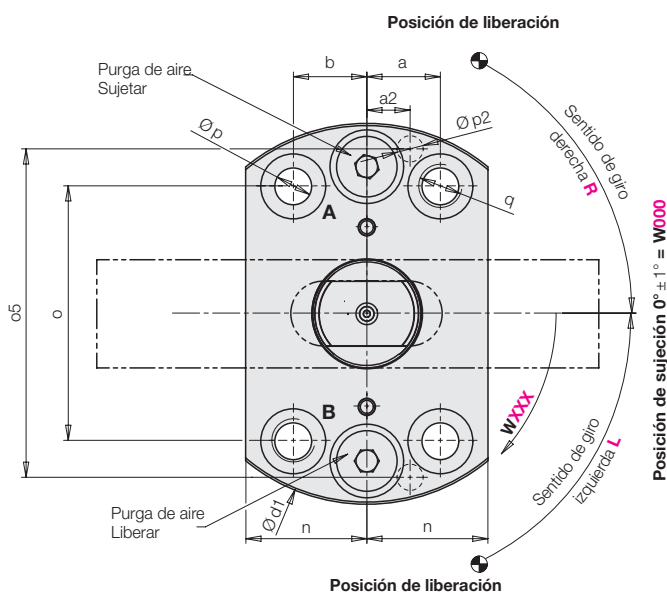
Brida superior, aplanada por ambos lados

Posición de liberación



Pistón en posición de sujeción

Esquema de conexión



Posición de sujeción

El ángulo de la posición de sujeción W puede elegirse entre 0° y 175° en incrementos de 5° (W000 ... W175).

Ángulo de giro

Puede elegirse un ángulo de giro de 0°, de 15° a 75° en incrementos de 5° y de 90°. Tolerancia del ángulo de giro ± 3° en posición de liberación

Clave numérica para el pedido y ejemplos → página 23

Condiciones de servicio, tolerancias y otros datos, véase la hoja A 0.100

Alojamiento para la brida de sujeción con **pasador pendular** • Brida superior, aplanada por ambos lados
Dimensiones y datos técnicos

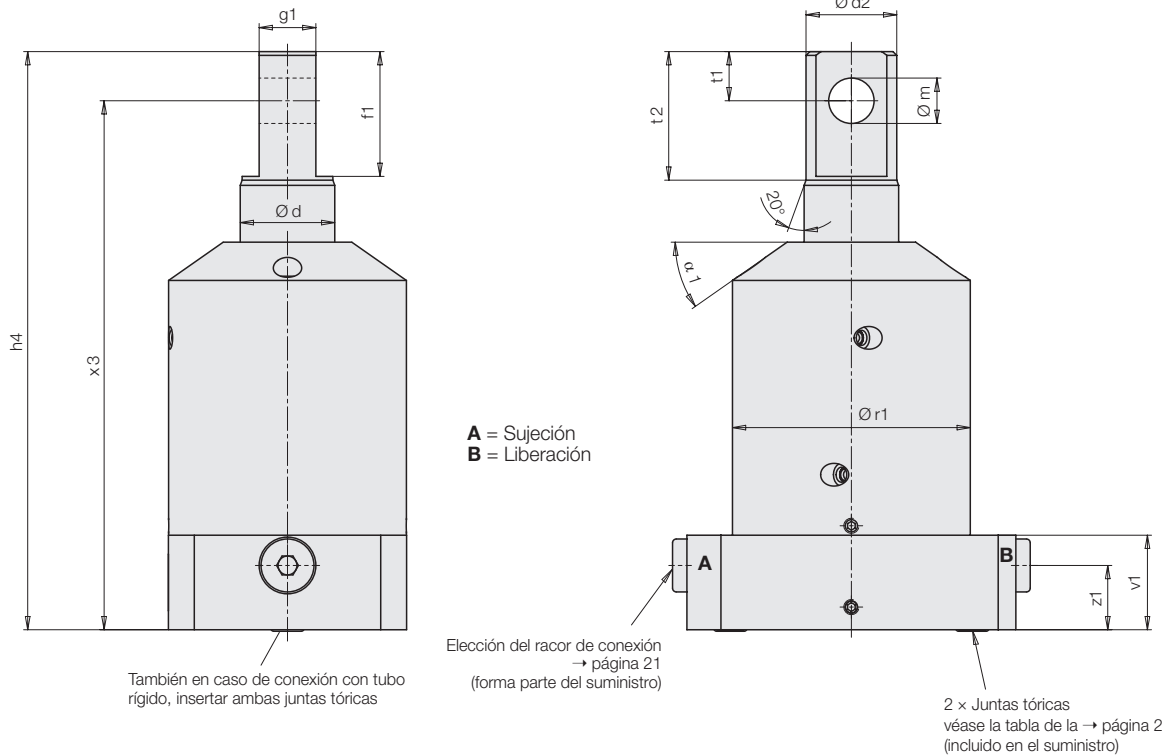
Tamaño		1		2		3	
Ø de pistón/vástago	[mm]	23/16		36/25		50/36	
Carrera de sujeción	[mm]	8	15	12	25	12	25
Fuerza de tracción a 250 bar	[kN]	5,3		13,1		23,6	
Presión de accionamiento mín.	[bar]	20	20	20	20	20	20
Superficie del segmento del pistón	[cm ²]	2,14		5,27		9,46	
Demanda de aceite/mm carrera de sujeción	[cm ³ /mm]	0,21		0,53		0,95	
Demanda de aceite/mm carrera de retorno	[cm ³ /mm]	0,42		1,02		1,96	
Demanda de aceite giro a 90°	[cm ³]	3,14		10,69		24,34	
Demanda de aceite giro a 75°	[cm ³]	2,08		7,03		17,29	
Demanda de aceite giro 0°	[cm ³]	0		0		0	
Demanda de aceite reducción de giro cada 5° por debajo de 75° hasta 15°	[cm ³]	0,12		0,38		1,01	
Caudal volumétrico máx.	[l/min]	Diagramas, ver página 21					
Tiempos de giro mín.	[s]	Diagramas, ver página 21					
a	[mm]	14,3		17		22,5	
a2 ±0,05	[mm]	9		10		12	
b	[mm]	14,3		17		22,5	
c	[mm]	47		68		90	
Ød	[mm]	16		25		36	
Ød1	[mm]	70		88		110	
Ød2	[mm]	15,5		24		34	
f1	[mm]	23		33		50	
g1 f7		10		15		25	
h1 mín.	[mm]	58,5	72,5	75	101	104	130
h1 máx.	[mm]	59	73	76	102	105	131
h2 mín.	[mm]	117,5	138,5	151,4	190,4	202	241
h2 máx.	[mm]	118	139	152,4	191,4	203	242
i	[mm]	M5	M5	M8	M8	M10	M10
Øm H7/g6		8		12		16	
n	[mm]	20		28		38	
o	[mm]	45,8		58,9		77,9	
o5 ±0,05	[mm]	58		76		96	
o6 ±0,03	[mm]	58		76		96	
Øp	[mm]	5,8		8,5		10,5	
Øp2 M8	[mm]	6,1 × 8 profundo		6,1 × 8 profundo		6,1 × 8 profundo	
q		M6		M10		M12	
Ør	[mm]	36		52		72	
Øs ±0,2	[mm]	36,4		52,4		72,4	
t1	[mm]	10		13		20	
t2	[mm]	24		34		50,5	
v	[mm]	24		26		28	
x1 +0,7 -0,6	[mm]	49	56	63,4	76,4	78	91
y	[mm]	15		17,5		11	
Peso aprox.	[kg]	0,8	0,9	1,9	2,3	4,5	5,2

Fuerza de sujeción efectiva F en función de la presión de servicio p → página 21

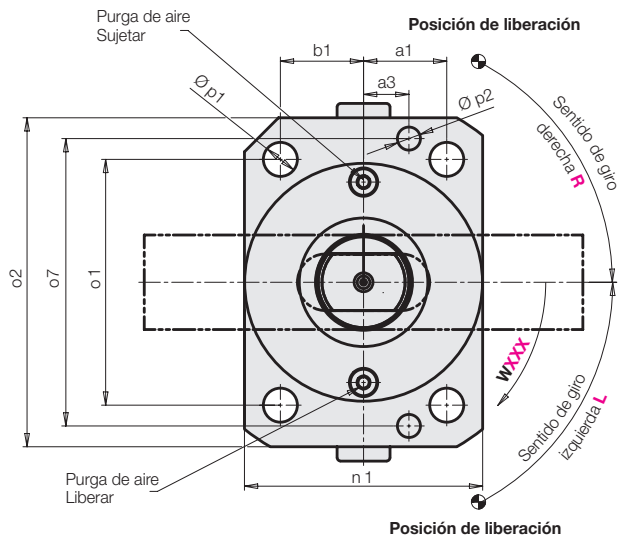
Brida inferior

Alojamiento para la brida de sujeción con pasador pendular

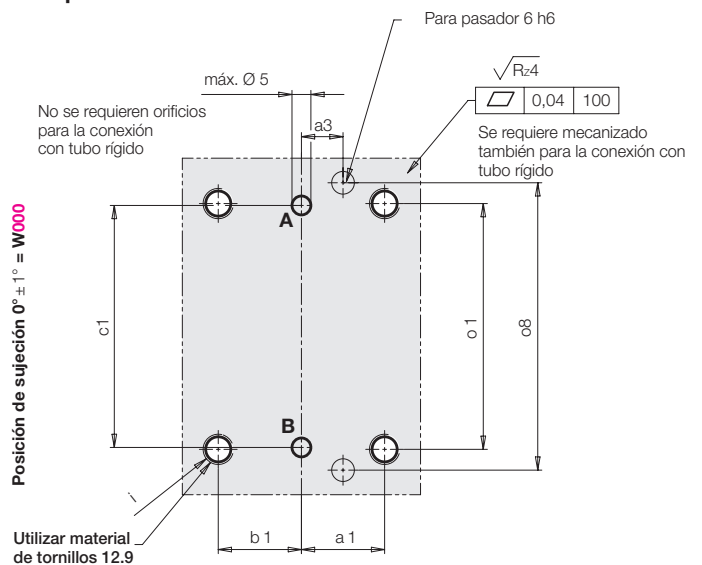
Posición de liberación



Pistón en posición de sujeción



Esquema de conexión



Posición de sujeción

El ángulo de la posición de sujeción W puede elegirse entre 0° y 175° en incrementos de 5° (**W000 ... W175**).

Ángulo de giro

Puede elegirse un ángulo de giro de 0° , de 15° a 75° en incrementos de 5° y de 90° . Tolerancia del ángulo de giro $\pm 3^\circ$ en posición de liberación

Clave numérica para el pedido y ejemplos → página 23

Alojamiento para la brida de sujeción con **pasador pendular** • Brida inferior

Dimensiones y datos técnicos

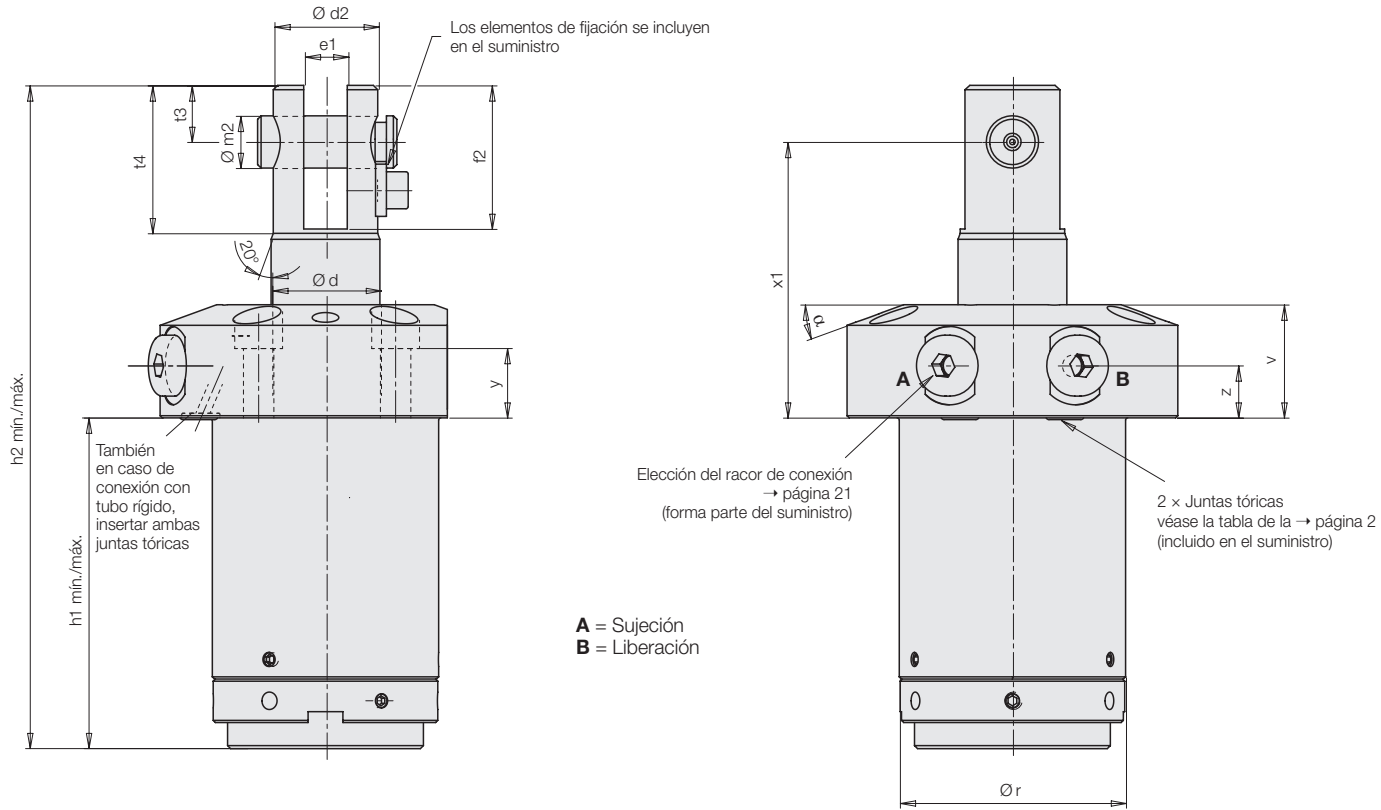
Tamaño		1		2		3	
Ø de pistón/vástago	[mm]	23/16		36/25		50/36	
Carrera de sujeción	[mm]	8	15	12	25	12	25
Fuerza de tracción a 250 bar	[kN]	5,3		13,1		23,6	
Presión de accionamiento mín.	[bar]	20	20	20	20	20	20
Superficie del segmento del pistón	[cm ²]	2,14		5,27		9,46	
Demanda de aceite/mm carrera de sujeción	[cm ³ /mm]	0,21		0,53		0,95	
Demanda de aceite/mm carrera de retorno	[cm ³ /mm]	0,42		1,02		1,96	
Demanda de aceite giro a 90°	[cm ³]	3,14		10,69		24,34	
Demanda de aceite giro a 75°	[cm ³]	2,08		7,03		17,29	
Demanda de aceite giro 0°	[cm ³]	0		0		0	
Demanda de aceite reducción de giro cada 5° por debajo de 75° hasta 15°	[cm ³]	0,12		0,38		1,01	
Caudal volumétrico máx.	[l/min]	Diagramas, ver página 21					
Tiempos de giro mín.	[s]	Diagramas, ver página 21					
a1	[mm]	15		22		30	
a3 ±0,05	[mm]	10		12		15	
b1	[mm]	15		22		30	
c1	[mm]	48		64		86	
Ød	[mm]	16		25		36	
Ød2	[mm]	15,5		24		34	
f1	[mm]	23		33		50	
h4	[mm]	119,1	140,1	152,9	191,9	203,7	242,7
i	[mm]	M6		M8		M12	
Øm H7/g6		8		12		16	
n1	[mm]	45		63		80	
o1	[mm]	50		65		86	
o2	[mm]	70		87		108	
o7 ±0,05	[mm]	61,4		76		96	
o8 ±0,03	[mm]	61,4		76		96	
Øp1	[mm]	7		9		13	
Øp2 M8	[mm]	6,1 × 8 profundo		6,1 × 8 profundo		6,1 × 8 profundo	
Ør1 -0,2	[mm]	44,9		62,9		79,8	
t1	[mm]	10		13		20	
t2	[mm]	24		34		50,5	
v1	[mm]	20		25		27,5	
x3 ±0,4	[mm]	109,1	130,1	139,9	178,9	183,7	222,7
z1	[mm]	11		17		17,5	
Peso aprox.	[kg]	1,17	1,33	2,65	3,24	5,58	6,5
Bisel de la brida α 1	[°]	25		35		25	

Fuerza de sujeción efectiva F en función de la presión de servicio p → página 21

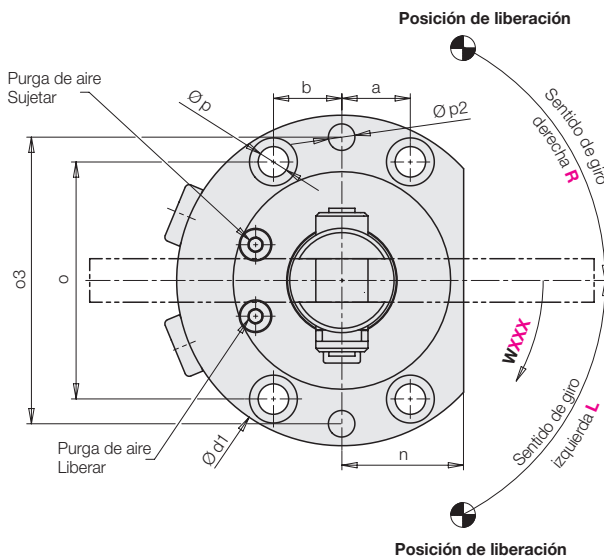
Brida superior

Alojamiento para la brida de sujeción con **cabeza de horquilla**

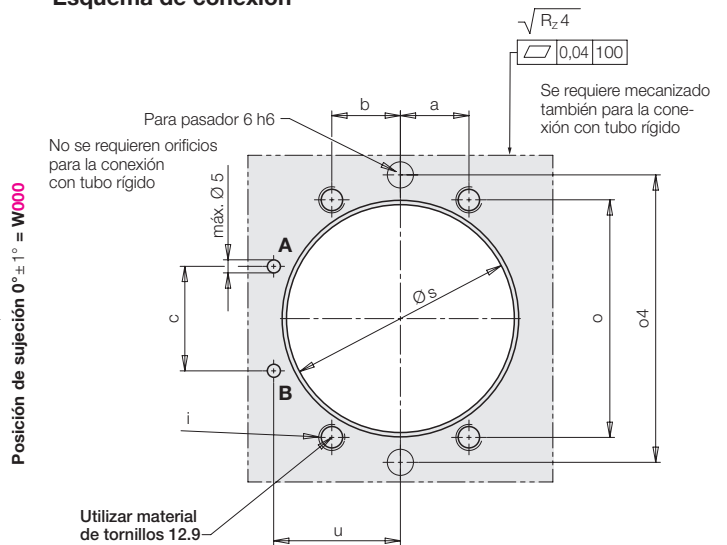
Posición de liberación



Pistón en posición de sujeción



Esquema de conexión



Posición de sujeción

El ángulo de la posición de sujeción **W** puede elegirse entre 0° y 175° en incrementos de 5° (**W000...W175**).

Ángulo de giro

Puede elegirse un ángulo de giro de 0°, de 15° a 75° en incrementos de 5° y de 90°. Tolerancia del ángulo de giro $\pm 3^{\circ}$ en posición de liberación

Clave numérica para el pedido y ejemplos → página 23

Condiciones de servicio, tolerancias y otros datos, véase la hoja A 0.100

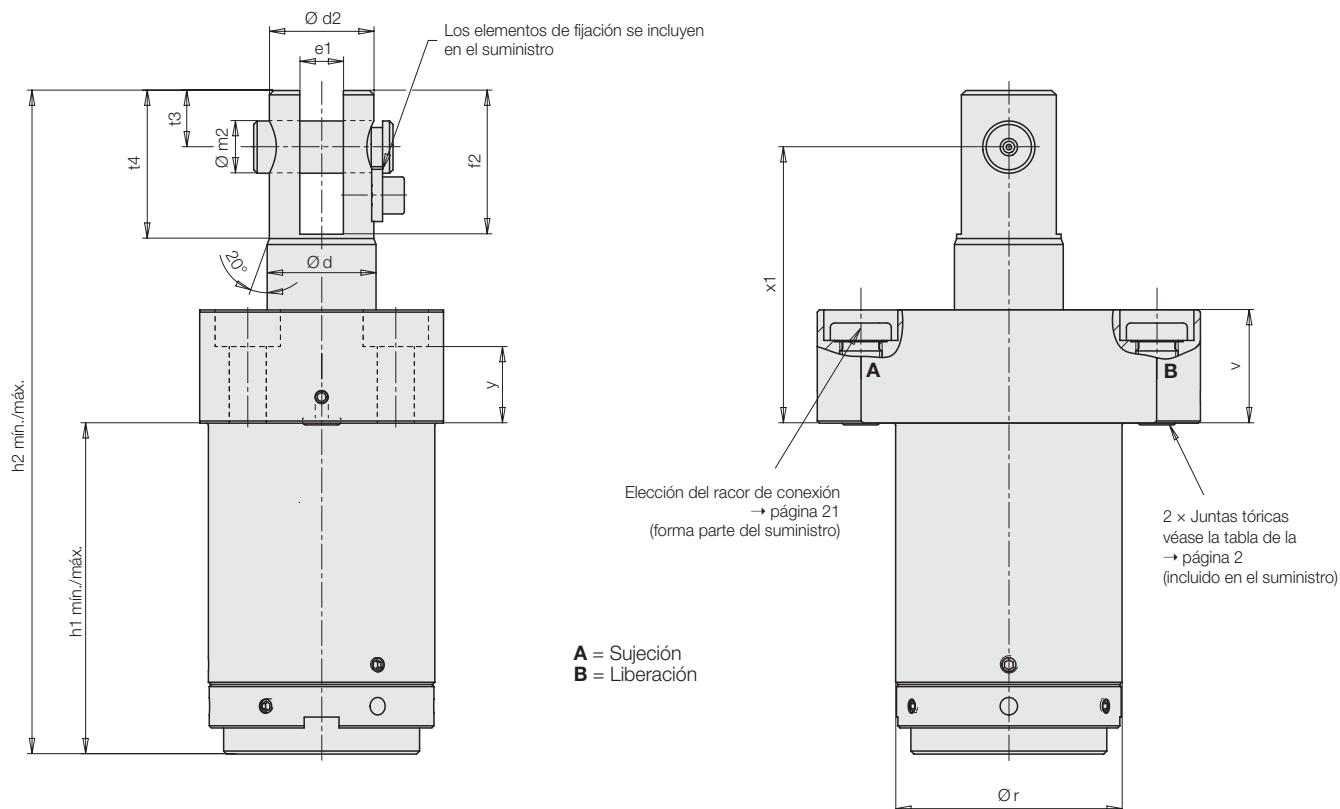
Alojamiento para la brida de sujeción con cabeza de horquilla • Brida superior
Dimensiones y datos técnicos

Tamaño		1		2		3	
Ø de pistón/vástago	[mm]	23/16		36/25		50/36	
Carrera de sujeción	[mm]	8	15	12	25	12	25
Fuerza de tracción a 250 bar	[kN]	5,3		13,1		23,6	
Presión de accionamiento mín.	[bar]	20	20	20	20	20	20
Superficie del segmento del pistón	[cm ²]	2,14		5,27		9,46	
Demanda de aceite/mm carrera de sujeción	[cm ³ /mm]	0,21		0,53		0,95	
Demanda de aceite/mm carrera de retorno	[cm ³ /mm]	0,42		1,02		1,96	
Demanda de aceite giro a 90°	[cm ³]	3,14		10,69		24,34	
Demanda de aceite giro a 75°	[cm ³]	2,08		7,03		17,29	
Demanda de aceite giro 0°	[cm ³]	0		0		0	
Demanda de aceite reducción de giro cada 5° por debajo de 75° hasta 15°	[cm ³]	0,12		0,38		1,01	
Caudal volumétrico máx.	[l/min]	Diagramas, ver página 21					
Tiempos de giro mín.	[s]	Diagramas, ver página 21					
a	[mm]	11,75		15,75		22,5	
b	[mm]	11,75		15,75		22,5	
c	[mm]	18		24		34,5	
Ød	[mm]	16		25		36	
Ød1	[mm]	62		76		110	
Ød2	[mm]	15,5		24		34	
f1	[mm]	23		33		50	
h1 mín.	[mm]	60,5	74,5	75	101	104	130
h1 máx.	[mm]	61	75	76	102	105	131
h2 mín.	[mm]	117,5	138,5	151,4	190,4	202	241
h2 máx.	[mm]	118	139	152,4	191,4	203	242
i	[mm]	M5		M6		M10	
Øm H7/g6		8		12		16	
n	[mm]	19		28		38	
o	[mm]	40,7		54,56		77,94	
o3 ±0,05	[mm]	54		66		96	
o4 ±0,03	[mm]	54		66		96	
Ø p	[mm]	5,8		7		12	
Øp2 M8	[mm]	6,1 × 8 profundo		6,1 × 8 profundo		6,1 × 8 profundo	
Ø r	[mm]	36		52		72	
Ø s ±0,2	[mm]	36,4		52,4		72,4	
t1	[mm]	10		13		20	
t2	[mm]	24		34		50,5	
u	[mm]	21,7		29,1		41,5	
v	[mm]	22		26		28	
x1 +0,7 -0,6	[mm]	47	54	63,4	76,4	78	91
y	[mm]	13		16		11	
z	[mm]	10		12		11	
Peso aprox.	[kg]	0,8	0,9	1,9	2,3	4,6	5,4
Bisel de la brida α	[°]	10		20		15	

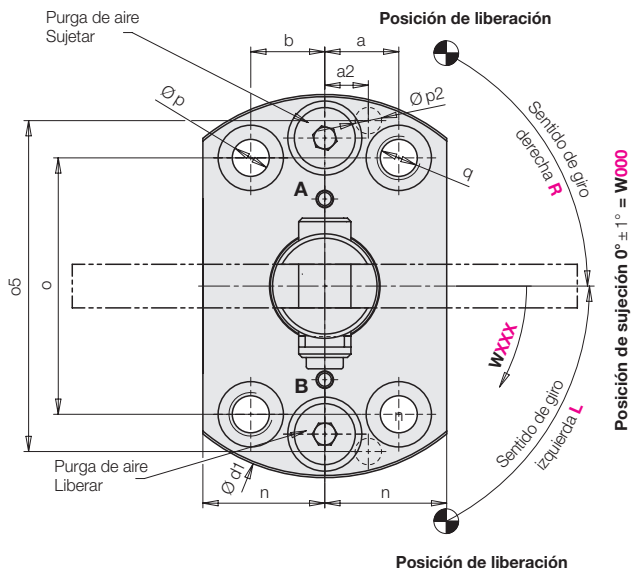
Fuerza de sujeción efectiva F en función de la presión de servicio p → página 21

Brida superior, aplanada por ambos lados Alojamiento para la brida de sujeción con **cabeza de horquilla**

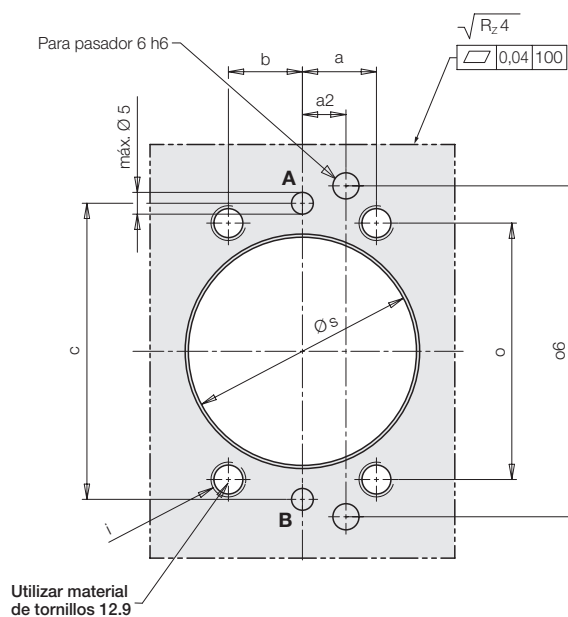
Posición de liberación



Pistón en posición de sujeción



Esquema de conexión



Posición de sujeción

El ángulo de la posición de sujeción **W** puede elegirse entre 0° y 175° en incrementos de 5° (**W000...W175**).

Ángulo de giro

Puede elegirse un ángulo de giro de 0° , de 15° a 75° en incrementos de 5° y de 90° . Tolerancia del ángulo de giro $\pm 3^\circ$ en posición de liberación

Clave numérica para el pedido y ejemplos → página 23

Alojamiento para la brida de sujeción con **cabeza de horquilla** • Brida superior, aplanada por ambos lados
Dimensiones y datos técnicos

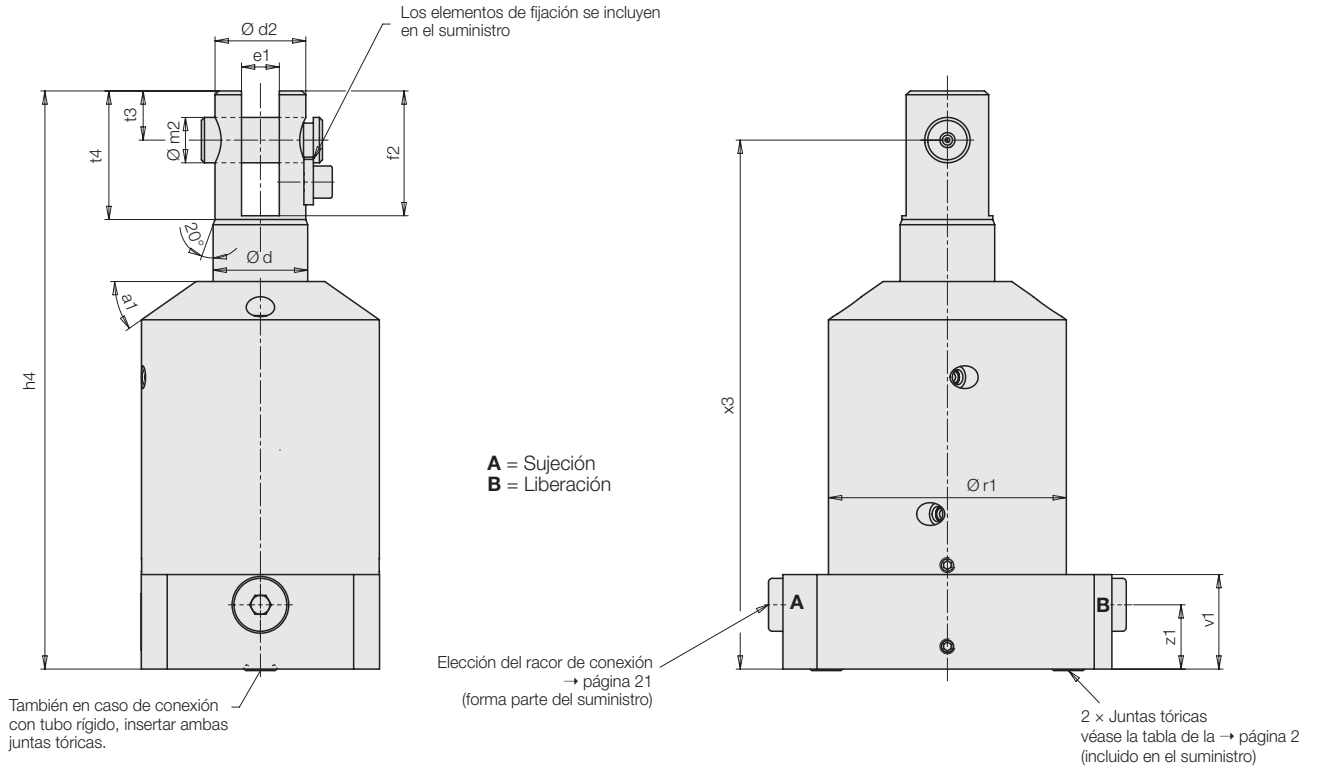
Tamaño		1		2		3	
Ø de pistón/vástago	[mm]	23/16		36/25		50/36	
Carrera de sujeción	[mm]	8	15	12	25	12	25
Fuerza de tracción a 250 bar	[kN]	5,3		13,1		23,6	
Presión de accionamiento mín.	[bar]	20	20	20	20	20	20
Superficie del segmento del pistón	[cm ²]	2,14		5,27		9,46	
Demanda de aceite/mm carrera de sujeción	[cm ³ /mm]	0,21		0,53		0,95	
Demanda de aceite/mm carrera de retorno	[cm ³ /mm]	0,42		1,02		1,96	
Demanda de aceite giro a 90°	[cm ³]	3,14		10,69		24,34	
Demanda de aceite giro a 75°	[cm ³]	2,08		7,03		17,29	
Demanda de aceite giro 0°	[cm ³]	0		0		0	
Demanda de aceite reducción de giro cada 5° por debajo de 75° hasta 15°	[cm ³]	0,12		0,38		1,01	
Caudal volumétrico máx.	[l/min]	Diagramas, ver página 21					
Tiempos de giro mín.	[s]	Diagramas, ver página 21					
a	[mm]	14,3		17		22,5	
a2 ±0,05	[mm]	9		10		12	
b	[mm]	14,3		17		22,5	
c	[mm]	47		68		90	
Ød	[mm]	16		25		36	
Ød1	[mm]	70		88		110	
Ød2	[mm]	15,5		24		34	
e1 +0,1	[mm]	6,01		10,01		12,01	
f2	[mm]	23,5		33		50	
h1 mín.	[mm]	58,5	72,5	75	101	104	130
h1 máx.	[mm]	59	73	76	102	105	131
h2 mín.	[mm]	117,5	138,5	151,4	190,4	202	241
h2 máx.	[mm]	118	139	152,4	191,4	203	242
i	[mm]	M5		M8		M10	
Øm H7/g6		8		12		16	
n	[mm]	20		28		38	
o	[mm]	45,8		58,9		77,9	
o5 ±0,05	[mm]	58		76		96	
o6 ±0,03	[mm]	58		76		96	
Ø p	[mm]	5,8		8,5		10,5	
Øp2 M8	[mm]	6,1 × 8 profundo		6,1 × 8 profundo		6,1 × 8 profundo	
q	[mm]	M6		M10		M12	
Ø r	[mm]	36		52		72	
Ø s ± 0,2	[mm]	36,4		52,4		72,4	
t1	[mm]	10		13		20	
t2	[mm]	24		34		50,5	
v	[mm]	24		26		28	
x1 +0,7 -0,6	[mm]	49	56	63,4	76,4	78	91
y	[mm]	15		17,5		11	
Peso aprox.	[kg]	0,8	0,9	1,9	2,3	4,5	5,2

Fuerza de sujeción efectiva F en función de la presión de servicio p → página 21

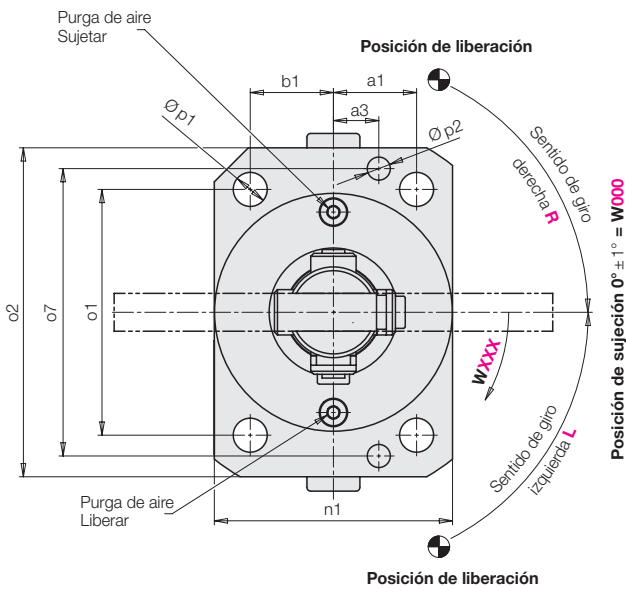
Brida inferior

Alojamiento para la brida de sujeción con **cabeza de horquilla**

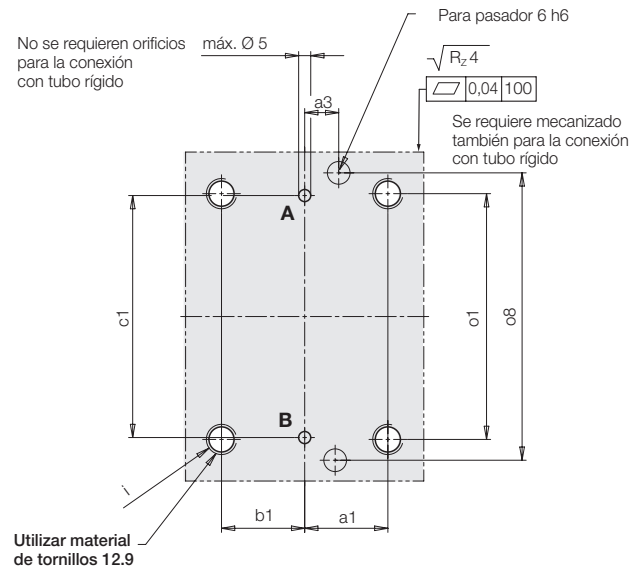
Posición de liberación



Pistón en posición de sujeción



Esquema de conexión



Posición de sujeción

El ángulo de la posición de sujeción **W** puede elegirse entre 0° y 175° en incrementos de 5° (**W000 ... W175**).

Ángulo de giro

Puede elegirse un ángulo de giro de 0°, de 15° a 75° en incrementos de 5° y de 90°. Tolerancia del ángulo de giro ± 3° en posición de liberación

Clave numérica para el pedido y ejemplos → página 23

Condiciones de servicio, tolerancias y otros datos, véase la hoja A 0.100

Alojamiento para la brida de sujeción con cabeza de horquilla • Brida inferior
Dimensiones y datos técnicos

Tamaño		1		2		3	
Ø de pistón/vástago	[mm]	23/16		36/25		50/36	
Carrera de sujeción	[mm]	8	15	12	25	12	25
Fuerza de tracción a 250 bar	[kN]	5,3		13,1		23,6	
Presión de accionamiento mín.	[bar]	20	20	20	20	20	20
Superficie del segmento del pistón	[cm ²]	2,14		5,27		9,46	
Demanda de aceite/mm carrera de sujeción	[cm ³ /mm]	0,21		0,53		0,95	
Demanda de aceite/mm carrera de retorno	[cm ³ /mm]	0,42		1,02		1,96	
Demanda de aceite giro a 90°	[cm ³]	3,14		10,69		24,34	
Demanda de aceite giro a 75°	[cm ³]	2,08		7,03		17,29	
Demanda de aceite giro 0°	[cm ³]	0		0		0	
Demanda de aceite reducción de giro cada 5° por debajo de 75° hasta 15°	[cm ³]	0,12		0,38		1,01	
Caudal volumétrico máx.	[l/min]	Diagramas, ver página 21					
Tiempos de giro mín.	[s]	Diagramas, ver página 21					
a1	[mm]	15		22		30	
a3 ±0,05	[mm]	10		12		15	
b1	[mm]	15		22		30	
c1	[mm]	48		64		86	
Ød	[mm]	16		25		36	
Ød2	[mm]	15,5		24		34	
f1	[mm]	23		33		50	
h4	[mm]	119,1	140,1	152,9	191,9	203,7	242,7
i	[mm]	M6		M8		M12	
Øm H7/g6		8		12		16	
n1	[mm]	45		63		80	
o1	[mm]	50		65		86	
o2	[mm]	70		87		108	
o7 ±0,05	[mm]	61,4		76		96	
o8 ±0,03	[mm]	61,4		76		96	
Øp1	[mm]	7		9		13	
Øp2 M8	[mm]	6,1 × 8 profundo		6,1 × 8 profundo		6,1 × 8 profundo	
Ør1 -0,2	[mm]	44,9		62,9		79,8	
t1	[mm]	10		13		20	
t2	[mm]	24		34		50,5	
v1	[mm]	20		25		27,5	
x3 ±0,4	[mm]	109,1	130,1	139,9	178,9	183,7	222,7
z1	[mm]	11		17		17,5	
Peso aprox.	[kg]	1,17	1,33	2,65	3,24	5,58	6,5
Bisel de la brida α 1	[°]	25		35		25	

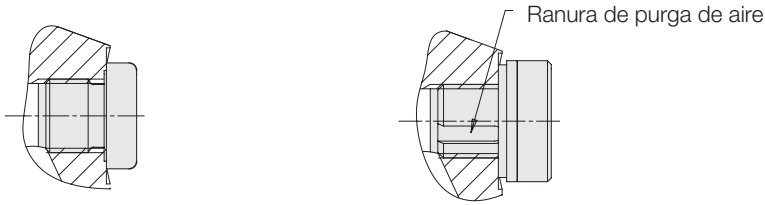
Fuerza de sujeción efectiva F en función de la presión de servicio p → página 21

Racor de conexión

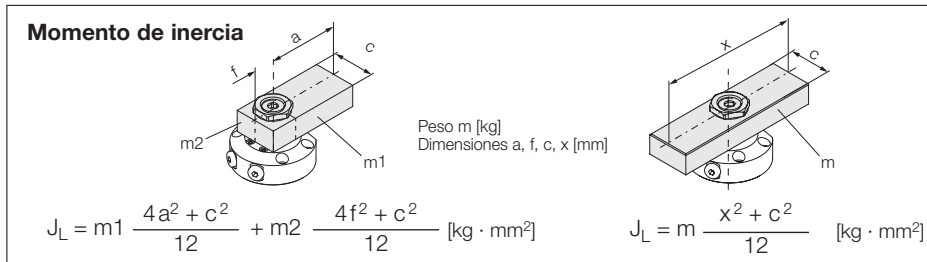
Datos técnicos

Tornillo de cierre con anillo de junta **D**

Tornillo de purga de aire con junta tórica KDS **K**

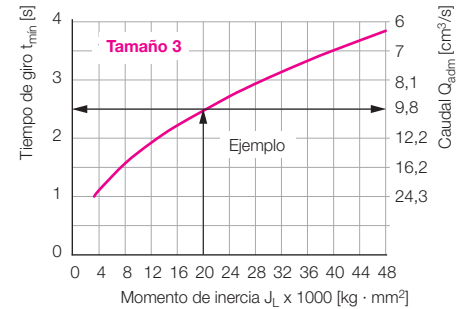
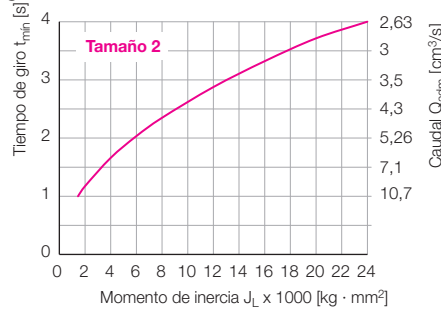
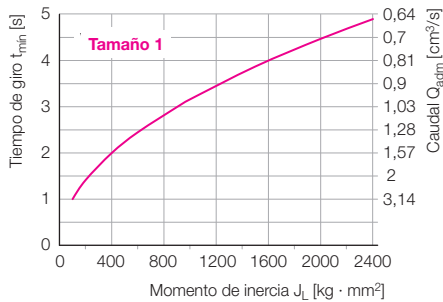


Momento de inercia J_L de la brida de sujeción y fuerza de sujeción efectiva F



Tiempo de giro mín. y caudal admisible en función del momento de inercia de la brida de sujeción

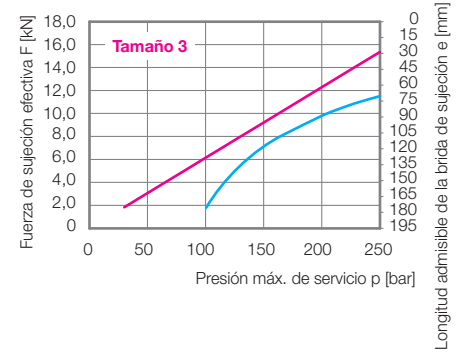
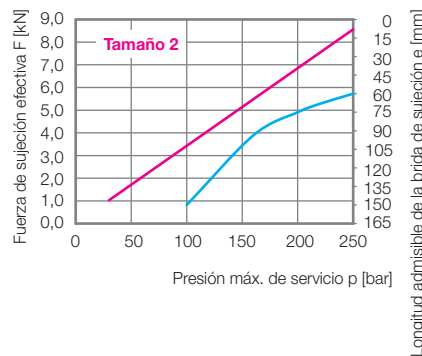
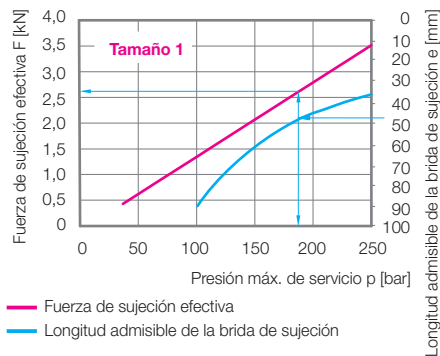
Representaciones válidas a partir de un ángulo de giro de 15°



Presión máx. de servicio en función de la longitud de la brida de sujeción e

Ejemplo: $J_L = 20\,000 \text{ kg} \cdot \text{mm}^2$
 $\rightarrow t_{\min} = 2,5 \text{ s} \rightarrow Q_{\text{adm}} 9,8 \text{ cm}^3/\text{s}$

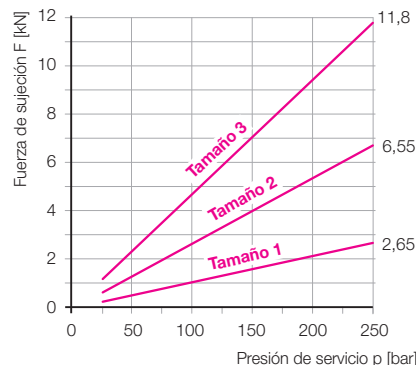
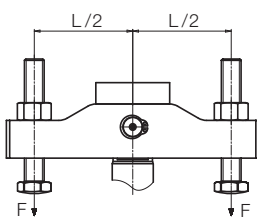
Fuerza de sujeción efectiva F y longitud admisible de la brida de sujeción e



Ejemplo:

Longitud de la brida de sujeción 47 mm, presión máx. de servicio 187 bar, fuerza de sujeción efectiva 2,6 kN

Fuerza efectiva de sujeción F en función de la presión de servicio p

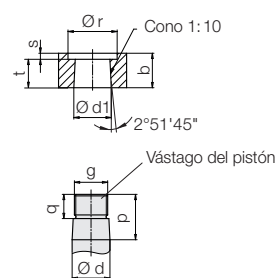
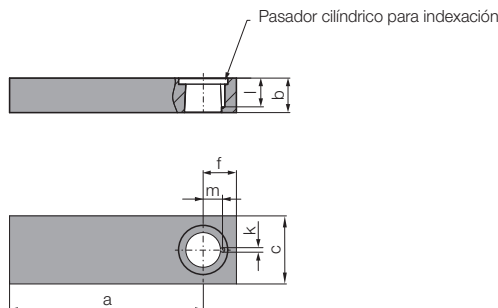
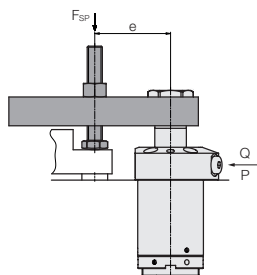


Condiciones de servicio, tolerancias y otros datos, véase la hoja A 0.100

Cono 1:10 • Accesorios

Brida de sujeción (pieza bruta)

Pieza bruta de brida de sujeción para garra giratoria



En la pieza bruta de brida de sujeción está incorporado el asiento cónico con la precisión necesaria. La adaptación a los puntos de sujeción de la pieza de trabajo tiene lugar mediante:

- Acortamiento a la longitud requerida de la brida de sujeción.
- Una rosca para un tornillo de presión templado que también puede ser ajustable.
- Biseles laterales y en las partes superior/inferior para facilitar la evacuación de virutas y reducir el momento de inercia.

Momento de inercia de la brida de sujeción

Para evitar la sobrecarga del mecanismo de giro, es preciso reducir, mediante la estrangulación del caudal, la velocidad de giro en función del momento de inercia de la brida de sujeción utilizada (véase el accesorio Válvula de estrangulación → página 24).

Diagramas de tiempo de giro

Los diagramas se basan en una brida de sujeción estándar corta con un momento de inercia J_e y un tiempo de giro de 1 s.

Cálculo del tiempo de giro para 90°:

$$t_{\min} = 1 \text{ s} * \sqrt{\frac{J_L}{J_e}} \geq 1 \text{ s} \quad [\text{s}]$$

Cálculo del caudal admisible:

$$Q_{\text{adm}} = Q_e * \sqrt{\frac{J_e}{J_L}} \leq Q_e \quad [\text{cm}^3/\text{s}]$$

Q_e = Caudal máximo para la brida de sujeción estándar según la tabla $[\text{cm}^3/\text{s}]$

J_e = Momento de inercia de la brida de sujeción estándar según la tabla $[\text{kg} \cdot \text{mm}^2]$

J_L = Momento de inercia de la brida de sujeción deseada $[\text{kg} \cdot \text{mm}^2]$

Tipo	BG1 (V1SA ADX)	BG2 (V1SA ALX)	BG3 (V1SA ARX)
a	[mm] 90	150	175
b	[mm] 17	22,8	29,5
c	[mm] 28	45	60
Ø d f7	[mm] 16	25	36
Ø d1 -0,05/-0,1	[mm] 16	25	36
e máx. a 250 bar	[mm] 35	60	70
f	[mm] 16	22	30
g	[mm] M14 x 1,5	M22 x 1,5	M30 x 1,5
Ø k +0,05	[mm] 3	3	4
l +0,5	[mm] 9,5	18	18
m ± 0,05	[mm] 7,8	12,8	17,5
p	[mm] 22,5	30	38
q	[mm] 9	16	18
Ø r	[mm] 20	32,5	47
s	[mm] 2,5	4	4
t	[mm] 14,5	18,8	25,5
Peso	[kg] 0,37	1,29	2,6
Momento de inercia J_e	[kg · mm ²] 936	9.292	25.694
Referencia			
Brida de sujeción (pieza bruta)	3548 4215	3548 4216	3548 4217
Tuerca de repuesto			
Par de apriete	[Nm] 16	50	110
Pasador cilíndrico			
	[mm] 3301 281	3301 708	3300 195
		Ø3x6	Ø3x12
			Ø4x12
Brida de sujeción estándar corta			
Caudal máx. Q_e	[cm ³ /s] 3,14	10,69	24,34
Momento de inercia J_e	[kg · mm ²] 100	1.450	3.250
Tiempo de giro mín.	[s] 1	1	1

Clave numérica para el pedido

V1SAA - XXX5 - XXXX - HXXX - WXXX - ONEX

Tamaño

D = tamaño 1 (Ø23/16-5,3 kN)
L = tamaño 2 (Ø36/25-13,1 kN)
R = tamaño 3 (Ø50/36-23,6 kN)

Diseño

B = brida superior con junta tórica y rosca para tubos
A = brida superior, aplanada por ambos lados con junta tórica desde abajo
G = brida inferior con junta tórica y rosca para tubos

Alojamiento para la brida de sujeción

K = cono 1:10 → páginas 3-8
P = pasador pendular → páginas 9-14
G = cabeza de horquilla → páginas 15-20

Sentido de giro

R = derecha
L = izquierda
0 = sin giro

Ángulo de giro

015 = 15°
020 = 20°
025 = 25°
030 = 30°
035 = 35°
040 = 40°
045 = 45°
050 = 50°
055 = 55°
060 = 60°
065 = 65°
070 = 70°
075 = 75°
090 = 90°
000 = 0° (sin giro)

Racor de conexión

D = Tornillo de cierre con anillo de junta
K = Tornillo de purga de aire con anillo de junta KDS

Ángulo de la posición de sujeción W

Para cono 1:10

000 = 0°

Para pasador pendular y cabeza de horquilla

000 a **175** = 0° a 175° en gradación de 5°

Carrera de sujeción

Para tamaño 1 (**D**)

008 = 8 mm

015 = 15 mm

Para tamaños 2 y 3 (**L** y **R**)

012 = 12 mm

025 = 25 mm

Limitación de la carrera de sujeción bajo petición

Ejemplo de pedido 1

Tamaño 2 = **L**
 Brida superior = **B**
 Cono 1:10 = **K**
 giro a la derecha = **R**
 Ángulo de giro 75° = **075**
 Carrera de sujeción: 12 mm = **012**
 Posición de sujeción 0° = **000**
 Tornillo de cierre = **D**

Ejemplo de pedido 2

Tamaño 1 = **D**
 Brida inferior = **G**
 Pasador pendular = **P**
 giro a la derecha = **R**
 Ángulo de giro 75° = **075**
 Carrera de sujeción: 8 mm = **008**
 Posición de sujeción 30° = **030**
 Tornillo de cierre = **D**

Ejemplo de pedido 3

Tamaño 3 = **R**
 Brida superior, aplanada por ambos lados = **A**
 Cabeza de horquilla = **G**
 giro a la izquierda = **L**
 Ángulo de giro 75° = **075**
 Carrera de sujeción: 25 mm = **025**
 Posición de sujeción 160° = **160**
 Tornillo de purga de aire = **K**

Referencia

V1SAA-LBK5-R075-H012-W000-ONED

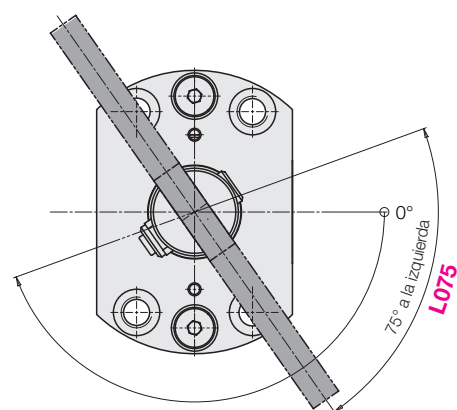
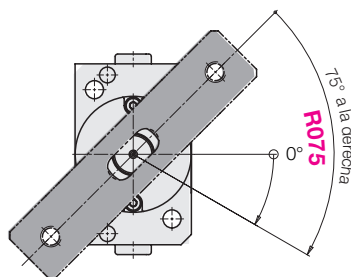
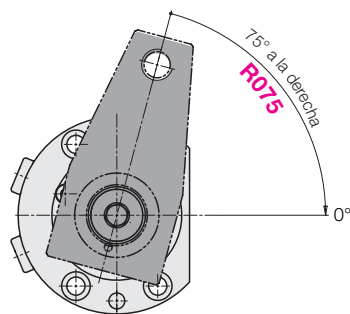
Referencia

V1SAA-DGP5-R075-H008-W030-ONED

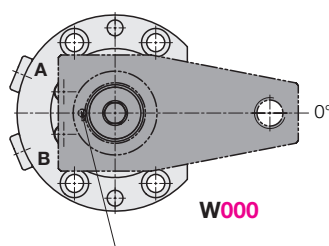
Referencia

V1SAA-RAG5-L075-H025-W160-ONEK

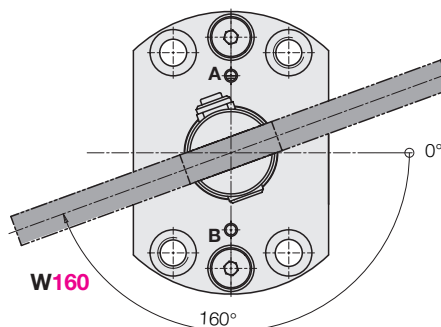
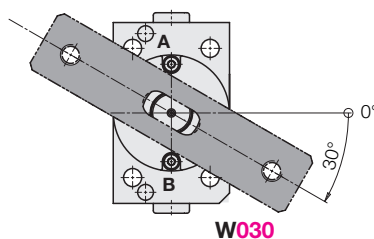
Liberada



Sujeta



Posición de la ranura en posición de sujeción



Aplicación

Estas válvulas de estrangulación se utilizan

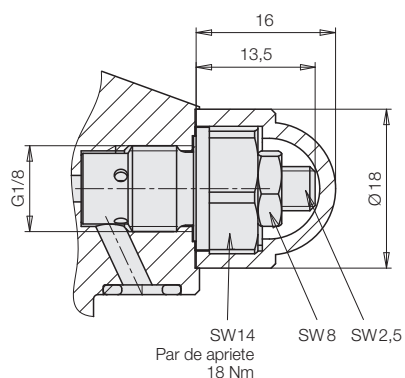
- a fin de reducir la velocidad de giro de la brida de sujeción
- a fin de mejorar el sincronismo entre varias garras giratorias

Notas importantes

Esta aplicación solo es posible en caso de conexión a través de conductos taladrados, ya que las válvulas de estrangulación se enroscan en las conexiones con tubo rígido G1/8 existentes.

Si la estrangulación es fuerte, el aumento de la presión dinámica delante de la válvula de estrangulación puede provocar la conmutación prematura de los presostatos y de las válvulas de secuencia.

Dimensiones



Peso 0,025 kg

Referencia 2957 209

Símbolos hidráulicos

